



University of Guilan
Faculty of Agricultural Sciences

Cereal Research

Vol. 14, No. 3, Autumn 2024 (309-328)

doi: 10.22124/CR.2024.27831.1827

pISSN: 2252-0163 eISSN: 2538-6115



RESEARCH PAPER

OPEN ACCESS

Association analysis for proline and fructan content in barley (*Hordeum vulgare L.*) under late spring cold stress using microsatellite markers

Fatemeh Abbaszadeh Panjali Kharabasi¹, Reza Darvishzadeh^{2*}, Seyed Reza Gholi Mirfakhraei³, and Farshid Chamani Balabiglo⁴

1. Graduate M.Sc., Department of Plant Genetics and Breeding, College of Agriculture, Tarbiat Modares University, Tehran, Iran

2. Professor, Department of Plant Production and Genetics, Faculty of Agriculture, Urmia University, Urmia, Iran (* Corresponding author: r.darvishzadeh@urmia.ac.ir)

3. Assistant Professor, Department of Plant Genetics and Breeding, College of Agriculture, Tarbiat Modares University, Tehran, Iran

4. M.Sc. Student, Department of Agronomy and Plant Breeding, College of Agriculture & Natural Resources, University of Tehran, Karaj, Iran

Comprehensive abstract

Introduction

Biotic and abiotic environmental stresses reduce the quantity and quality of agricultural products. Late spring cold stress, if it occurs, can cause significant damage to farmers and producers depending on the growth stage of the crop plants. Association analysis allows for the rapid and initial identification of quantitative trait loci based on linkage disequilibrium. This method is a powerful tool for explaining the genetics of complex agricultural traits and identifying alleles controlling these traits. The objective of this study was to evaluate the genetic diversity, population structure, linkage disequilibrium pattern and association analysis of some physiological traits of cultivated barley genotypes under late spring cold stress conditions using microsatellite (SSR) markers.

Materials and methods

The plant materials of this study were 60 cultivated barley genotypes including 20 commercial and 40 landraces, which were obtained from the Seed and Plant Improvement Research Institute, Karaj, Iran. The experiment was carried out as a factorial in a completely randomized design with three replications. The studied genotypes were placed under cold stress (+8 and -2 °C) at the reproductive stage (heading and flowering, Zadoks 68-50) and physiological data were measured and collected. Analysis of variance and comparison of means were performed by Tukey's test at a probability level of 5% using SAS software version 9.4. software version 9.4. Also, genomic DNA was extracted using the CTAB method and its quality and quantity were determined using 1% agarose gel electrophoresis and spectrophotometer, respectively. To assess molecular diversity among the studied barley genotypes, DNA samples were amplified by 20 SSR markers using polymerase chain reaction (PCR) and the PCR products were loaded on metaphor-agarose gels. After electrophoresis, the bands in the gels were scored as co-dominant, and then the number of alleles, common allele frequency, marker discrimination power, polymorphic information content (PIC) and gene diversity were calculated using POWER MARKER software. Effective population structure analysis was also conducted using the Bayesian method in the Structure software. To identify genomic regions associated with the measured traits, association analysis based on mixed linear model (MLM) was conducted in TASSEL software, considering the population structure (Q) and the kinship (K) matrices as covariate variables.



Research findings

The results of the variance analysis for the physiological data indicated significant differences in all studied traits among barley genotypes under both temperature conditions of 8 °C and -2 °C. According to the mean comparison results, the highest amount of proline was observed in the local varieties Sahra and Jonoob at 8 °C, while in the -2 °C conditions, the highest levels were found in the genotypes Naik and Zahek. Conversely, the lowest proline levels at both temperature conditions were identified in the genotypes TN-02-6297 and TN-02-6400. Therefore, the two local varieties Naik and Zahek, with their higher proline levels at -2 °C, are introduced as cold-tolerant genotypes against late spring frost stress. Regarding fructan, this study also revealed that at 8 °C, the highest and lowest fructan levels were observed in the genotypes TN-02-6734 and TN-02-4975, respectively. Additionally, under -2 °C conditions, these values were recorded in the genotypes Bahman and TN-02-4952. Polymorphic information content varied from 0.59 for the marker Bmag0007 to 0.82 for the marker Bmag0032. The gene diversity ranged from 0.63 to 0.84, with an average of 0.74, and the frequency of common alleles varied from 0.21 to 0.52. Population structure analysis indicated the presence of two subpopulations among the studied barley genotypes. The results of association analysis based on the mixed linear model (MLM) identified five significant marker-trait associations ($P < 0.05$). Among these, three markers (Bmag0518, Bmag0211, and Ebmac0674) were significantly associated with proline-controlling genes under -2 °C conditions, one marker (Bmag0223) was associated with proline-controlling genes under +8 °C conditions, and one marker (Bmag0173) was linked to fructan-controlling genes under +8 °C conditions. Additionally, no marker was identified with a significant association for fructan levels under -2 °C conditions.

Conclusion

The results of the association analysis in this study showed that five markers, Bmag0518, Bmag0211, Ebmac0674, Bmag0223 and Bmag0173, had a significant association with the proline and fructan contents in barley under cold stress conditions. These markers, after validation with complementary tests, can be utilized in breeding programs by marker-assisted selection (MAS) to improve cold resistance in barley.

Keywords: Genetic diversity, Marker-assisted selection (MAS), Marker-trait association, Mixed linear model, Population structure

Received: July 25, 2024

Accepted: October 30, 2024

Cite this article:

Abbaszadeh Panjali Kharabasi, F., Darvishzadeh, R., Mirfakhraei, S. R. G., & Chamani Balabiglo, F. (2024). Association analysis for proline and fructan content in barley (*Hordeum vulgare* L.) under late spring cold stress using microsatellite markers. *Cereal Research*, 14(3), 309-328. doi: [10.22124/CR.2024.27831.1827](https://doi.org/10.22124/CR.2024.27831.1827).



تحقیقات غلات

دوره چهاردهم، شماره سوم، پاییز ۱۴۰۳ (۳۲۸-۳۰۹)

doi: 10.22124/CR.2024.27831.1827



دسترسی آزاد

مقاله پژوهشی

تجزیه ارتباط برای محتوای پرولین و فروکتان در جو (*Hordeum vulgare L.*) تحت تنفس سرمای دیررس بهاره با استفاده از نشانگرهای ریزماهواره

فاطمه عباسزاده پنجلی خرابی^۱، رضا درویشزاده^{۲*}، سید رضاقلی میرخراibi^۳ و فرشید چمنی بالابیگلو^۴

۱- دانشآموخته کارشناسی ارشد، گروه ژنتیک و بهنژادی گیاهی، پردیس کشاورزی، دانشگاه تربیت مدرس، تهران، ایران

۲- استاد، گروه تولید و ژنتیک گیاهی، دانشکده کشاورزی، دانشگاه ارومیه، ارومیه، ایران (*نویسنده مسئول:

r.darvishzadeh@urmia.ac.ir

۳- استادیار، گروه ژنتیک و بهنژادی گیاهی، پردیس کشاورزی، دانشگاه تربیت مدرس، تهران، ایران

۴- دانشجوی کارشناسی ارشد، گروه زراعت و اصلاح نباتات، پردیس کشاورزی و منابع طبیعی، دانشگاه تهران، کرج، ایران

چکیده جامع

مقدمه: تنفس‌های زنده و غیرزنده محیطی، کمیت و کیفیت محصولات زراعی را کاهش می‌دهند. سرمای دیررس بهاره، در صورت بروز قادر است متناسب با مراحل رشدی محصول، آسیب‌های زیادی به کشاورزان و تولیدکنندگان وارد کند. تجزیه ارتباطی امکان شناسایی اولیه و سریع جایگاه صفات کمی بر اساس عدم تعادل پیوستگی را فراهم می‌کند. این روش ابزار قدرتمندی جهت تشریح ژنتیک صفات پیچیده زراعی و شناسایی آللهای مؤثر بر کنترل این صفات است. هدف از این مطالعه، ارزیابی تنوع ژنتیکی، ساختار جمعیت، الگوی عدم تعادل پیوستگی و تجزیه ارتباطی برخی صفات فیزیولوژیک در جو زراعی تحت شرایط تنفس سرمای دیررس بهاره با استفاده از نشانگرهای ریزماهواره (SSR) بود.

مواد و روش‌ها: مواد گیاهی این تحقیق، تعداد ۶۰ ژنوتیپ جو زراعی شامل ۲۰ ژنوتیپ تجاری و ۴۰ ژنوتیپ بومی بود که از مؤسسه تحقیقات اصلاح و تهیه نهال و بذر کرج تهیه شد. آزمایش به صورت فاکتوریل در قالب طرح کاملاً تصادفی با سه تکرار اجرا شد. ژنوتیپ‌های مورد مطالعه در مرحله زایشی (سبتله‌دهی و گلدهی، زادوکس ۵۰-۶۸) تحت تنفس سرما +۸ و -۲ درجه سلسیوس) قرار گرفتند و سپس داده‌های فیزیولوژیک اندازه‌گیری و جمع‌آوری شدند. تجزیه واریانس و مقایسه میانگین داده‌ها با آزمون توکی در سطح احتمال پنج درصد با استفاده از نرمافزار SAS نسخه ۹/۴ انجام شد. علاوه بر این، DNA ژنومی با استفاده از روش CTAB استخراج و کیفیت و کمیت آن به ترتیب با استفاده از الکتروفوروز ژل آگارز یک درصد و اسپکتروفوتومتر تعیین شد. جهت ارزیابی تنوع مولکولی بین ژنوتیپ‌ها، نمونه‌های DNA با استفاده از ۲۰ نشانگر SSR طی واکنش زنجیره‌ای پلیمراز (PCR) تکثیر و محصولات بدست آمده روی ژل متافور- آگارز بارگذاری شدند. پس از انجام الکتروفوروز، نوارهای موجود در ژل‌ها به صورت همبارز نمره‌دهی و سپس تعداد آللهای فراوانی آل شایع، قدرت تمایز نشانگرهای محتوای اطلاعات چندشکلی (PIC) و تنوع ژنی با استفاده از نرمافزار POWER MARKER محاسبه شد. تجزیه مؤثر ساختار جمعیت نیز با استفاده از روش Bayesian Structure در نرمافزار Bayesian میانگین مکان‌های ژنی مرتبط با صفات ارزیابی شده نیز از مدل خطی مخلوط (MLM) با در نظر گرفتن ماتریس ساختار جمعیت (Q) و ماتریس خویشاوندی (K) به عنوان متغیر کمکی در نرمافزار TASSEL استفاده شد.

یافته‌های تحقیق: نتایج تجزیه واریانس داده‌های فیزیولوژیک، تفاوت معنی‌داری را از نظر تمامی صفات مورد مطالعه بین ژنتیپ‌های جو در هر یک از شرایط دمایی +۸ و -۲ درجه سلسیوس نشان داد. بر اساس نتایج مقایسه میانگین‌ها، بیشترین مقدار پرولین در شرایط دمایی +۸ درجه سلسیوس در رقم‌های بومی صحراء و جنوب و در شرایط دمایی -۲ درجه سلسیوس در رقم‌های نایک و زهک مشاهده شد و در مقابل، کمترین میزان پرولین در شرایط دمایی +۸ و -۲ درجه سلسیوس به ترتیب در رقم‌های TN-02-6297 و TN-02-6400 ثبت شد. بنابراین دو رقم بومی نایک و زهک با داشتن بالاترین میزان پرولین در شرایط دمایی -۲ درجه سلسیوس به عنوان رقم‌های متحمل به تنش سرمای دیررس بهاره معرفی می‌شوند. در مورد فروکتان نیز نتایج این مطالعه نشان داد که در دمایی +۸ درجه سلسیوس، بیشترین و کمترین میزان فروکتان به ترتیب در ژنتیپ‌های TN-02-6734 و TN-02-4975 مشاهده شد، در حالی که در شرایط دمایی -۲ درجه سلسیوس، این مقادیر به ترتیب در ژنتیپ‌های بهمن و TN-02-4952 ثبت شد. محتوای اطلاعات چند شکل از ۰/۵۹ در نشانگر Bmag0007 تا ۰/۸۲ در نشانگر Bmag0032 متغیر بود. میزان تنوع ژئی نیز از ۰/۶۳ تا ۰/۸۴ با متوسط ۰/۷۴ و فراوانی آلل شایع از ۰/۲۱ تا ۰/۵۲ متغیر بود. تجزیه ساختار جمعیت، وجود دو زیرجمعیت را در ژنتیپ‌های مورد مطالعه جو نشان داد. نتایج تجزیه ارتباط بر اساس مدل خطی مخلوط (MLM)، پنج ارتباط معنی‌دار ($P < 0.05$) نشانگر-صفت را شناسایی کرد که از این تعداد، سه نشانگر (Bmag0518، Bmag0211، Ebmac0674) با ژن‌های کنترل کننده پرولین در شرایط دمایی -۲ درجه سلسیوس، یک نشانگر (Bmag0223) با ژن‌های کنترل کننده پرولین در شرایط +۸ درجه سلسیوس و یک نشانگر (Bmag0173) با ژن‌های کنترل کننده فروکتان در شرایط +۸ درجه سلسیوس ارتباط معنی‌دار داشتند. همچنین، نشانگر با ارتباط معنی‌داری برای میزان فروکتان در شرایط دمایی -۲ درجه سلسیوس شناسایی نشد.

نتیجه‌گیری: نتایج حاصل از تجزیه ارتباطی در این مطالعه نشان داد که پنج نشانگر Bmag0211، Bmag0518، Ebmac0674، Bmag0223 و Bmag0173 دارای ارتباط معنی‌دار با میزان پرولین و فروکتان در جو تحت شرایط تنش سرما بودند. از این نشانگرها، بعد از اعتبارستجوی با آزمایش‌های تکمیلی، می‌توان در برنامه‌های بهزیادی از طریق گزینش به کمک نشانگر (MAS) به منظور بهبود مقاومت به سرما در جو استفاده کرد.

واژه‌های کلیدی: ارتباط نشانگر-صفت، تنوع ژئیکی، ساختار جمعیت، گزینش به کمک نشانگر، مدل خطی مخلوط

تاریخ پذیرش: ۱۴۰۳/۰۸/۰۹

تاریخ دریافت: ۱۴۰۳/۰۴/۱۲

نحوه استناد به این مقاله:

عباس‌زاده پنجمعلی خرابی، فاطمه، درویش‌زاده، رضا، میرفخرابی، سید رضاقلی، و چمنی بالابیگلو، فرشید. (۱۴۰۳). تجزیه ارتباط برای محتوای پرولین و فروکتان در جو *Hordeum vulgare* L. تحت تنش سرمای دیررس بهاره با استفاده از نشانگرهای ریزماهواره. *تحقیقات غلات*, ۱۴(۳)، ۳۲۸-۳۰۹. doi: [10.22124/CR.2024.27831.1827](https://doi.org/10.22124/CR.2024.27831.1827)

مقدمه

تغییرات فرآیندهای فیزیولوژیک مانند فتوسترنتر، انتقال و تنفس ایجاد می‌شود، یکی از مهم‌ترین ویژگی‌های گیاهان است. در واقع کربوهیدرات‌ها با بالابردن غلظت درون سلولی، مانع از یخ زدن گیاهان در اثر سرما می‌شوند (Hajihashemi *et al.*, 2018). فروکتان یکی از مهم‌ترین کربوهیدرات‌ها در شرایط تنش محسوب می‌شود و در شرایط دماهای پایین، به‌مقدار زیادی در غلات تجمع می‌یابد که ممکن است در نتیجه کاهش نرخ فتوسترنتر در دماهای پایین باشد (Cozzolino *et al.*, 2016). از جمله وظایف فروکتان در مقابله با تنش‌های غیرزیستی می‌توان به مشارکت آن در ثبات غشای سلولی با کاهش نشت آب، جلوگیری از کاهش حجم سلول با افزایش فشار اسمزی، مقاومت به سرما و کاهش نقطه انجماد اشاره کرد. همچنین فروکتان به عنوان یک آنتی‌اکسیدان، نقش مهمی ROS؛ در غیرفعال کردن گونه‌های فعال اکسیژن (Reactive Oxygen Species) و جلوگیری از آسیب‌های سلولی در شرایط تنش‌های غیرزیستی دارد. احتمالاً فروکتان از طریق چندین سازوکار باعث تحمل به تنش می‌شود (Choudhir & Vasistha, 2021). علاوه بر فروکتان، پرولین نیز به عنوان سبک‌ترین آمینو اسید آزاد سلولی، علاوه بر محافظت اسمزی در تنظیم هموستازی، در تعادل وضعیت انرژی و اکسایش/ احیا سلول نیز مؤثر است. همچنین، پرولین می‌تواند به عنوان مولکول سیگنال در تنظیم عملکرد میتوکندری، تنظیم تکثیر یا مرگ سلول و تحریک بیان ژن‌هایی که در بازیابی مؤثرند، نقش ایفا کند (Chalecka *et al.*, 2021). این متابولیت به عنوان تعدیل کننده اسمزی با محافظت از ساختارهای درون سلولی طی تنش‌های محیطی، نقش مهمی در بهبود تحمل به تنش در گیاهان دارد و به عنوان یک نشانگر بیوشیمیابی برای ارزیابی تحمل به دمای پایین و سازگاری با سرما استفاده می‌شود (Hosseinifard *et al.*, 2022).

تنوع ژنتیکی در یک جمعیت از گونه‌های گیاهی، که شامل نژادهای بومی ارقام تجاری می‌شود، یک منبع اساسی برای توسعه شیوه‌های کشاورزی پایدار و افزایش تولید غذا است (Latutrie *et al.*, 2019). به همین دلیل، ارزیابی تنوع ژنتیکی، گام اصلی برای کشف ژن‌های مفید در محصولات زراعی است (Brbaklıć *et al.*, 2021).

تنوع ژنتیکی یکی از عناصر اساسی پیشرفت ژنتیکی، حفظ جمعیت‌ها، تکامل و سازگاری با شرایط متغیر محیطی است (Hoban *et al.*, 2021). برای ارزیابی تنوع ژنتیکی

در بین غلات، جو (Hordeum vulgar L.) به عنوان چهارمین محصول در مقیاس جهانی شناخته شده است (FAO, 2020) و یکی از سازگارترین غلات محسوب می‌شود (Tricase *et al.*, 2018). جو به‌دلیل طبیعت خودگشنسی، دیپلوفئید بودن با تعداد کروموزوم‌های محدود ($2n=2x=14$) و به نسبت بزرگ (8-6 میکرومتر) و همچنین دورگ‌گیری آسان، مدل مهمی برای بررسی‌های ژنتیکی به شمار می‌رود (Liu *et al.*, 2020). ایران یکی از مراکز تنوع جو در خاورمیانه است. این گیاه به‌دلیل تنوع ژنتیکی وسیع و بومی این منطقه، اهمیت ویژه‌ای برای بهترگاران دارد. بسیاری از ارقام زراعی مورد کشت و کار در ایران، هنوز از ژنتیک‌های بومی هستند (Shahmoradi & Zahrawi, 2014). سطح زیر کشت جو در ایران در سال زراعی ۱۴۰۰-۱۴۰۱ ۱۶۸۴۷۱۴ هکتار و مقدار تولید آن ۳۱۷۶۵۰۲ تن بوده است. از این مقدار، ۹۳۴۹۹۰ هکتار به صورت دیم و ۷۴۹۷۲۶ هکتار به صورت آبی کشت شده و میانگین عملکرد آن به ترتیب ۳۱۹۵ و ۸۳۶ کیلوگرم در هکتار با میزان تولید ۲۳۹۵۱۹۳ و Ministry of Agriculture- ۷۸۱۳۰۹ تن بوده است (Jihad, 2023).

در بین تنش‌های غیرزیستی، تنش دمای بالا و پایین از مهم‌ترین عوامل تعیین‌کننده کشت گیاهان بوده و در موفقیت رزاعتها نقش تعیین کننده‌ای دارد. دمای پایین (سرمازدگی) اغلب روی رشد و عملکرد گیاه تأثیر می‌گذارد و میزان محصول را به طور چشم‌گیری کاهش می‌دهد (Wang *et al.*, 2020). سرمازدگی علاوه بر کاهش محصول، در شرایط حاد باعث از بین رفتن گیاه می‌شود (Miranda *et al.*, 2019). سرمازدگی بهاره زمانی رخ می‌دهد که گیاه به مدت طولانی در معرض دماهای کمتر از دمای بحرانی قرار گیرد و رشد آن متوقف شود. در این حالت به بافت و اندام‌های گیاهی آسیب جدی وارد می‌شود. با وجود مزیت‌های کشت پاییزه، عوامل نامساعد محیطی نظیر سرما و یخ‌بندان، بقای زمستانه و عملکرد گیاهان را تحت تأثیر قرار می‌دهند (Nabati *et al.*, 2020). بنابراین، ارزیابی ویژگی‌های فیزیولوژیک، مورفولوژیک و بیوشیمیابی گیاهان به منظور انتخاب ژنتیک‌های برتر در شرایط تنش یخ‌زدگی از اهمیت ویژه‌ای برخوردار است (Nezami *et al.*, 2022).

انباشه شدن کربوهیدرات‌ها در شرایط تنش که به‌دلیل

ارتباطی دقیق‌تر از تجزیه پیوستگی است و به راحتی می‌توان از آن در فرآیند گرینش به کمک نشانگر استفاده کرد (Moose & Mumm, 2008). علاوه بر نقشه‌یابی بر مبنای جمعیت‌های طبیعی، می‌توان از جمعیت‌های نقشه‌یابی چند والدی مانند نقشه‌یابی ارتباطی آشیانه‌ای و تلاقی‌های نسل‌های پیشرفت‌های چندوالدی نیز برای نقشه‌یابی استفاده کرد. این جمعیت‌ها برای غلبه بر محدودیت‌های جمعیت‌های دو والدی تولید می‌شوند که تنوع ژنتیکی چند والد باعث ایجاد تنوع فنوتیپی بالا و نیز *Xu et al.*, 2017) در این پژوهش، بررسی تنوع و شباهت ژنتیکی ۶۰ ژنوتیپ جو با استفاده از نشانگرهای ریزماهواره و شناسایی نشانگرهای مرتبط با صفات فیزیولوژیک مؤثر در تحمل به سرمای دیررس بهاره در جو با استفاده از تجزیه ارتباطی بود.

مواد و روش‌ها

در این مطالعه، ۶۰ ژنوتیپ جو زراعی (*Hordeum vulgare* L.) شامل ۲۰ ژنوتیپ تجاری و ۴۰ ژنوتیپ بومی در قالب طرح پایه کامل‌تصادفی در گلخانه دانشکده کشاورزی دانشگاه تربیت مدرس ارزیابی شدند. ارقام مورد استفاده از بخش بانک ژن گیاهی مؤسسه تحقیقات اصلاح و تهیه نهال و بذر کرج تهیه شدند. قبل از کشت ابتدا بذرها به مدت پنج دقیقه در هیپوکلریت سدیم پنج درصد (۷/۷٪) ضدغونی و سپس دو تا سه بار با آب مقطر استریل شسته شدند. آن‌گاه بذرها روی کاغذ صافی درون پتریدیش منتقل و به مدت چهار روز در دستگاه جوانه‌زنی در دمای ۲۵ درجه سلسیوس و رطوبت ۷۰٪ در تاریکی قرار داده شدند. بعد از این‌که جوانه‌ها به حدود دو سانتی‌متر رسیدند، پتریدیش‌ها جهت بهاره‌سازی به مدت شش هفته در دمای 1 ± 1 درجه سلسیوس در یخچال قرار گرفتند. بعد از بهاره‌سازی، نورسته‌ها به گلدانهایی با قطر ۲۵ و ارتفاع ۳۰ سانتی‌متر منتقل شدند. با رسیدن بوته‌ها به اوایل مرحله زایشی (سنبل‌دهی و گل‌دهی، کد زادوکس ۵۰ الی ۶۸) (*Zadoks et al.*, 1974)، گلدانها به اتفاق رشد (demای 24°C روز و 14°C شب) منتقل و به منظور سازگاری به مدت سه روز در آنجا نگهداری شدند. به منظور اعمال تنش، دما به ازای هر یک ساعت به میزان دو درجه سلسیوس کاهش داده شد تا به سطح دماهای مورد نظر برای تنش (-2°C و $+8^{\circ}\text{C}$) برسد (Shroyer *et al.*, 2006).

می‌توان از نشانگرهای مورفو‌لولژیک، بیوشیمیایی و مولکولی استفاده کرد. نشانگرهای مولکولی مبتنی بر DNA به دلیل عدم تأثیرپذیری از محیط و قابلیت تکرارپذیری بالا از مهم‌ترین نشانگرها در بررسی تنوع ژنتیکی محسوب می‌شوند (Singh *et al.*, 2024a). همچنین، نشانگرهای مبتنی بر DNA در بررسی ساختار ژنتیکی ژرم‌پلاسم نیز مفید هستند (Singh *et al.*, 2024b). یکی از نشانگرهای مبتنی بر DNA، نشانگرهای SSR هستند که به علت تکرارپذیری بالا، ماهیت چند‌آلی، توارث هم‌بارز، فراوانی ژنومی بالا و توزیع تصادفی در ژنوم، کاربرد زیادی در مطالعات ژنومیک گیاهی دارند (Singh *et al.*, 2024a). در بررسی روابط ژنتیکی ۱۲ رقم جو از نشانگرهای SSR تنوع RAPD و استفاده شد، به طوری که نشانگرهای SSR بالایی را نسبت به RAPD نشان دادند و ارقام را به خوبی از یکدیگر تفکیک کردند (Karim *et al.*, 2010).

نشانگرهای مولکولی ابزارهای ارزشمندی هستند که به کمک آن‌ها می‌توان ژن‌های کنترل‌کننده صفاتی نظری تحمل به تنش‌های زنده و غیرزنده را از طریق تجزیه پیوستگی و تجزیه ارتباطی شناسایی کرد و دستورزی ژنتیکی را آسان‌تر انجام داد (Kage *et al.*, 2016). در تجزیه ارتباطی، مجموعه بزرگی از افراد یک جمعیت به طور تصادفی جمع‌آوری و تجزیه بر اساس عدم تعادل پیوستگی انجام می‌شود که در ژنتیک انسانی بهوفور از آن استفاده شده است (Park, 2019). بر خلاف تجزیه پیوستگی، تجزیه ارتباطی با استفاده از تنوع موجود در جمعیت‌های طبیعی، ارتباط بین تنوع فنوتیپی و تنوع ژنوتیپی (چندشکلی موجود در ژنوم) را بررسی و نشانگرهای پیوسته با ژن‌های کنترل‌کننده صفات را شناسایی می‌کند (Niu *et al.*, 2019). این روش به عنوان جایگزین یا مکمل تجزیه پیوستگی با بهره‌گیری از تنوع موجود در جمعیت‌های طبیعی و لحاظ کردن تمامی وقایع می‌یوزی که در طول تکامل جمعیت رخ داده است، وضوح نقشه‌یابی را افزایش می‌دهد (Zhu, 2016). در این روش به دلیل این‌که از تنوع موجود در جمعیت‌های طبیعی استفاده می‌شود، تا حد زیادی در وقت و هزینه‌ها صرفه‌جویی می‌شود. از طرف دیگر، در مطالعات تجزیه پیوستگی برای هر مکان ژنی حداکثر دو آلل مورد مطالعه قرار می‌گیرد، در صورتی که در تجزیه ارتباطی به طور بالقوه و همزمان تمام آلل‌های یک مکان ژنی (حداقل دو آلل)، ارزیابی می‌شوند (Yu & Buckler, 2006). تجزیه

دستگاه نانودرایپ BioTek بررسی شد. در این تحقیق ۲۰ جفت آغازگر ریزماهواره جو از سری های Bmag، Bmac، EBmac و Hvm مورد مطالعه قرار گرفت (Shamsifar et al., 2021; Haghpanah et al., 2020). آغازگرهای از شرکت سیناکلون به صورت پودر در ویال های دو میلی لیتر تهیه و به نسبت ۹:۱ رقیق شدند. برای رقیقسازی آغازگرهای ۱۰ میکرولیتر آغازگرها پس از رقیقسازی و استریل ترکیب شد. غلظت آغازگرهای ۹۰ میکرولیتر آب مقطر (Reaction) در حدود ۱۰ میکرولیتر بر پیکومول بود. اجزای واکنش PCR در حجم ۱۰ میکرولیتر، شامل یک میکرولیتر DNA با غلظت $ng/\mu\text{l}$ ۵۰، پنج میکرولیتر آب Master Mix، یک میکرولیتر آغازگر و ۳/۶ میکرولیتر آب Bio-Rad دیونیزه بود. تکثیر در دستگاه چرخه حرارتی Genova انجام شد. برنامه دمایی شامل واسرشتسازی اولیه در ۹۴ درجه سلسیوس به مدت پنج دقیقه و سپس واسرشتسازی در ۹۴ درجه سلسیوس به مدت یک دقیقه، اتصال آغازگر در دمای اختصاصی هر آغازگر به مدت ۴۵ ثانیه و بسط در ۷۲ درجه سلسیوس به مدت یک دقیقه و در انتها ۱۰ دقیقه بود. محصولات PCR روی ژل متافور- آگارز بارگذاری و الکتروفوروز با ولتاژ ۸۵ ولت به مدت ۴۰ دقیقه انجام شد. پس از اتمام الکتروفوروز، ژل تحت اشعه UV در دستگاه Gel documentation عکسبرداری و سپس نوارهای مشاهده شده به صورت همبازن نمره دهی شدند. به منظور تجزیه آماری داده ها، ابتدا همگنی واریانس خطا های آزمایشی با آزمون بارتلت (Bartlett, 1937) و نرمال بودن توزیع خطاهای با آزمون شاپیرو- ویلک (Shapiro & Wilk, 1965) انجام شد. تجزیه واریانس و مقایسه میانگین داده های پرولین و فروکتان به ترتیب با استفاده از مدل خطی عمومی و آزمون توکی در نرم افزار SAS نسخه ۹/۴ انجام شد. برای بررسی تنوع مولکولی ژنتوتیپ ها، تعداد آلل ها، قدرت تمایز نشانگرها، فراوانی آلل شایع، تنوع ژئی و محتوای اطلاعات چندشکلی (PIC; Polymorphic Information Content) در نرم افزار POWER MARKER محاسبه شد. تجزیه ساختار جمعیت و بررسی تعداد زیر جمعیت ها (K) و همچنین شناسایی ژنتوتیپ های مختلط بر اساس روش Bayesian استفاده از نرم افزار Structure ver. 2.3.4 (Gumede et al., 2022).

تجزیه ارتباط برای محتوای پرولین و فروکتان در جو تحت تنفس سرما ۱۹۹۵). گلدان ها به مدت دو ساعت در دمای نگهداری شد و سپس مجدداً دما به ازای هر یک ساعت دو درجه افزایش یافت تا به دمای 24°C برسد. نمونه برداری از گیاهان پس از ۲۴ ساعت از اعمال تنفس انجام شد. برای سنجش فروکتان، 0.2 g از نمونه های برگی نگهداری شده در فریزر در دمای 80°C - توزین و با سه میلی لیتر بافر سدیم فسفات 50 میلی مولار به مدت ۱۰ دقیقه مخلوط و سائیده شدند. همگنی حاصل با استفاده از کاغذ صافی و اتمن صاف و سپس یک میلی لیتر از محلول به دست آمده با پنج میلی لیتر آنترون دو درصد در اسید سولفوریک ۷۰ درصد مخلوط و پس از ۱۵ دقیقه، در بن ماری در دمای 100°C به مدت $7/5$ دقیقه قرار داده شد. بعد از سرد شدن نمونه ها، میزان جذب نور در طول موج 625 نانومتر با استفاده از دستگاه اسپکتروفوتومتر (Genova) قرائت شد. برای این منظور از استاندارد اینولین با غلظت های صفر تا 30 میکرو گرم بر میلی لیتر استفاده شد (Tolipov, 2021). برای اندازه گیری پرولین نیز از روش (Carillo & Gibon, 2011) استفاده شد. ابتدا برای تهیه عصاره گیاهی، مقدار 50 میلی گرم برگ پرچم منجمد شده به کمک ازت مایع سائیده شد تا همگن شود. نمونه پودر شده درون میکروتیوب دو میلی لیتر با یک میلی لیتر اتانول $70\text{ درصد مخلوط و به مدت ۲۰ دقیقه در بن ماری در دمای }80^{\circ}\text{C قرار داده شد. نمونه ها به مدت پنج دقیقه در }10000\text{ دور در دقیقه سانتریفیوژ و سپس مایع رویی به میکروتیوب جدید انتقال داده شد. مقدار }100\text{ میکرولیتر از این عصاره گیاهی با }200\text{ میکرولیتر محلول واکنش، مخلوط و به مدت ۲۰ دقیقه در بن ماری در دمای }95^{\circ}\text{C قرار داده شد. در انتها }180\text{ میکرولیتر از آن به میکرولیت منتقل و میزان جذب نور با دستگاه نانودرایپ (Epoch مدل BioTek) در طول موج }520\text{ نانومتر قرائت شد.}$

استخراج DNA ژنومی به روش CTAB انجام شد (Irsyadi et al., 2024). برای تعیین کیفیت نمونه های DNA مقدار دو میکرولیتر DNA به همراه یک میکرولیتر بافر بارگذاری (Loading dye) روی ژل آگارز یک درصد الکتروفوروز شد. ژل با Safe Stain رنگ آمیزی و سپس در دستگاه Gel documentation زیر نور UV عکس برداری شد. کمیت نمونه های DNA از نظر غلظت مواد همراه آن نظیر پلی ساکاریدها و پروتئین ها نیز با

(زیرجمعیت‌ها) یک ماتریس به نام Q محاسبه می‌کند که این ماتریس شامل برآورد ضرایب احتمال عضویت هر ژنتیپ در هر یک از زیرجمعیت‌ها است. میزان عدم تعادل پیوستگی با استفاده از نرمافزار TASSEL 2.1 محاسبه شد. برای انجام تجزیه ارتباطی، داده‌های فنوتیپی، ژنتیپی و ماتریس Q به نرمافزار معرفی شدند. برای تعیین روابط معنی‌دار نشانگر- صفت از مدل خطی مخلوط (MLM) TASSEL بهمراه ماتریس‌های K و Q در نرمافزار TASSEL استفاده شد. K به عنوان یک عامل تصادفی که ضریب خویشاوندی افراد را نشان می‌دهد، با نرمافزار TASSEL محاسبه شد. نشانگرهای مرتبط با صفات مورد مطالعه با توجه به مقادیر P-value تا ۰/۰۵ انتخاب شدند.

داده‌های ژنتیپی چندین نشانگر، هر یک از ژنتیپ‌ها را با یک احتمال طوری به زیرجمعیت‌های فرضی منتب می‌کند که در هر زیرجمعیت، میزان عدم تعادل پیوستگی حداقل و تعادل مرحله گامتی حداکثر باشد. تعداد زیرجمعیت فرضی اولیه بین یک تا ده در نظر گرفته شد. جهت حصول منحنی حداکثر درستنمایی از مدل Admixture و استقلال فراوانی آللی با ۱۰۰۰۰۰ MCMC تکرار آزمایش (Burn-in) و ۱۰۰۰۰۰ تکرار Julca (Markov Chain Monte Carlo) استفاده شد (et al., 2020). برای تعیین تعداد بهینه زیرجمعیت‌ها (Evanno et al., 2005) از روش ایوانو و همکاران (K) استفاده شد. نرمافزار Structure برای هر مقدار K نرمافزار TASSEL را برای انتخاب شدن.

جدول ۱- آغازگرهای ریزماهواره (SSR) مورد استفاده در این مطالعه

Table 1. Microsatellite (SSR) primers used in this study

Name	Primer sequence	Chromosomal location	Melting temperature (°C)
Bmag0211	F: ATTATCGATCTTGTATTAGTCC R: AACCCAGTAACACCGTCCTG	1H	52.7
Hvm54	F: AGTTCCCTGACCCGATGTC R: AGTTCCCTGACCCGATGTC	2H	57.1
Bmag0032	F: CCA TCA AAG TCC GGC TAG R: GTC GGG CCT CAT ACT GAC	1H	51.8
Hvm40	F: CGATTCCCCTTTCCACAC R: ATTCTCCGCCGTCCACTC	4H	61
Bmag0007	F: TGAAGGAAGAATAAACACCAACA R: TCCCCTATTATAGTGACGGTGTG	7H	57.1
Ebmac0602	F: GATTGGAGCTTCGGATCAC R: CCGTCTAGGGAGAGGTTCTC	6H	55.5
Ebmac0674	F: GAACGTATAGCAGGAGCAA R: CATCGTCCCTTCATGAT	6H	57.1
Ebmac0518	F: AATGCCATGATGTTATTGG R: AGAAGATTACATGAATAGATCA	2H	55
Bmag0223	F: TTAGTCACCCCTAACGGT R: CCCCTAACTGCTGTGATG	5H	60
Bmag0323	F: GCCAGTCAATCCAACCCTC R: GTGGCTATGATAGGAATAGCCG	5H	57.1
Ebmac0679	F: ATTGGAGCGGATTAGGAT R: CCCTATGTCATGTAGGAGATG	4H	56
Bmac0518	F: AATGCCATGATGTTATTGG R: AAGAAGATTACATCGATGATCA	2H	51.8
Bmag0381	F: TTTTATTATTGCATCTAGGGC R: TATCAAGATCATGACGCTCTA	2H	49.8
Bmag0606	F: CTATTGTAATGTATGTATGTCC R: TCATTGGTCCAGATAATACAA	3H	55
Bmag0603	F: ATACCATGATACATCACATCG R: GGGGTATGTACGACTAACTA	3H	58
Bmag0011	F: ACAAAAACACCGCAAAGAAGA R: GCTAGTACCTAGATGACCCCC	7H	58
Bmag0173	F: CATTGTTGGTGGTACGG R: ATAATGGCGGGAGAGACA	6H	54
Bmag0125	F: AATTAGCGAGAACAAAATCAC R: AGATAACGATGCACCACC	2H	55

نتایج و بحث

تجزیه و تحلیل داده‌های فیزیولوژیک

کننده‌های سرما عمل کرده و غشای پلاسمایی را طی تنش کم‌آبی پس از ادغام پلی‌ساکارید در ناحیه سرگروه لیپیدی غشا ثبت کنند (Valluru *et al.*, 2008). این مکانیزم سطح آب را حفظ کرده و با جلوگیری از نشت، از بافت‌های گیاهی در برابر تنش‌های غیرزیستی محافظت می‌کند. سطح فروکتان‌ها در برخی گونه‌های گیاهی به راحتی با استفاده از روش‌های بهنژادی کلاسیک بهبود نمی‌یابد، زیرا تنوع ژنتیکی میزان فروکتان در ژن‌پایه‌های برخی گونه‌ها پایین است. با این حال، سطح فروکتان‌ها در گیاهان را می‌توان با استفاده از ابزارهای زیست‌فلوری برای بیوسنتر فروکتان‌ها در برابر تنش‌های غیرزیستی افزایش داد. گیاهان با افزایش قندهای محلول به‌نوعی خود را در برابر سرما محافظت می‌کنند (Márquez-López *et al.*, 2022). میزان فروکتان‌ها تحت تنش سرما در برخی از ژنتیک‌های گیاهی به‌دلایل متعددی می‌تواند کاهش یابد. دمای پایین می‌تواند فعالیت آنزیم‌های تولیدکننده فروکتان و فرآیندهای بیوشیمیایی را مختل کند و به‌دبای آن منجر به کاهش سنتز این ترکیب شود. علاوه بر این، گیاهان در شرایط سرما ممکن است سریعاً از ذخایر کربوهیدراتی خود از جمله فروکتان‌ها استفاده کنند تا انرژی لازم برای حفظ متابولیسم و عملکرد سلولی را تأمین کنند. این رفتار بهویژه در شرایطی که فشار متابولیکی به‌دلیل تنش سرما افزایش می‌یابد، مشهود است. همچنین، تنش سرما می‌تواند منجر به تولید گروه‌های فعال اکسیژن (ROS) شود که این ترکیبات به سلول‌ها آسیب می‌زنند و می‌توانند عملکرد آنزیم‌های تولیدکننده فروکتان را کاهش دهند. در نهایت، گیاهان به‌منظور سازگاری با شرایط سرما ممکن است مسیرهای متابولیک خود را تغییر دهند که این تغییرات خود می‌تواند منجر به کاهش تولید فروکتان‌ها شده و باعث کاهش سطح آن‌ها شود (Zhu, 2016). به‌طور کلی، قندها در کاهش دمای انجماد آب سلولی، تأمین انرژی قابل دسترس و محافظت از ساختمان و نحوه عمل پروتئین‌ها در ایجاد تحمل به سرما نقش عمده‌ای دارند. در نتیجه می‌توان گفت که گیاهان با تجمع میزان پرولین و فروکتان، حجم آسیب‌های سرمادگی را کاهش می‌دهند (Atıcı *et al.*, 2003). به هر حال، با شناسایی ارقام متحمل به سرما از طریق بررسی تغییرات اسیدهای آمینه پرولین و فروکتان، می‌توان گیاهان را از خسارت تنش‌های غیرزیستی با استفاده از برنامه‌های بهنژادی دور ساخت.

نتایج تجزیه واریانس داده‌ها نشان داد که اثرات ساده ژنوتیپ و دما و برهمکنش بین آن‌ها بر میزان پرولین و فروکتان در سطح احتمال یک درصد معنی‌دار بود (جدول ۲). معنی‌دار بودن برهمکنش ژنوتیپ × دما نشان داد که تغییرات میزان پرولین و فروکتان در ژنوتیپ‌های مورد مطالعه جو در دو شرایط دمایی 0°C و -2°C روند یکسان و مشابهی نداشت و احتمالاً سازوکارهای ژنوتیپ‌ها در دو سطح دمایی فوق متفاوت بوده است.

نتایج مقایسه میانگین‌ها نشان داد که میزان پرولین و فروکتان در بیش‌تر ژنوتیپ‌های جو در دمای 0°C نسبت به دمای $+8^{\circ}\text{C}$ افزایش یافته است (جدول ۲). نتایج نشان داد که در شرایط دمای $+8^{\circ}\text{C}$ درجه سلسیوس، بیش‌ترین میزان پرولین در رقم‌های بومی صحراء و جنوب (به ترتیب $1/37$ و $1/30$ میکرومول بر گرم وزن تر برگ) و در شرایط دمای -2°C درجه سلسیوس در رقم‌های بومی نایک و زهک (به ترتیب $1/70$ و $1/66$ میکرومول بر گرم وزن تر برگ) مشاهده شد. در مقابل، کمترین میزان پرولین در شرایط دمای $+8^{\circ}\text{C}$ درجه سلسیوس به ترتیب در رقم‌های TN-02-6297 و TN-02-6400 (به ترتیب $0/31$ و $0/53$ میکرومول بر گرم وزن تر برگ) مشاهده شد. بنابراین دو رقم بومی نایک و زهک با داشتن بالاترین میزان پرولین در شرایط دمای 0°C به عنوان رقم‌های متحمل به تنش سرمای دیررس بهاره معرفی می‌شوند. پرولین به عنوان یک متابولیت آمینو اسیدی مهم، می‌تواند به عنوان یک سیگنال برای تحریک پاسخ‌های گیاه به تنش عمل کند. علاوه بر این، تجمع پرولین نه تنها یک سیگنال تنش است، بلکه با حفظ فتوسنتر و فعالیت آنزیم‌های آنتی‌اکسیدان و سطوح ترکیبات آنتی‌اکسیدان غیرآنزیمی، به کاهش آسیب‌های گیاهی با کاهش محتوای گونه‌های اکسیژن فعال و تنظیم اسمزی کمک می‌کند (Jiang *et al.*, 2023).

در مورد فروکتان نیز نتایج این مطالعه نشان داد که بیش‌ترین و کمترین میزان فروکتان در دمای $+8^{\circ}\text{C}$ به ترتیب در ژنوتیپ‌های TN-02-4975 و TN-02-6734 و در شرایط دمای -2°C به ترتیب در ژنوتیپ‌های بهمن و TN-02-4952 مشاهده شد. مطالعات متعددی برای بررسی ارتباط بین محتوای فروکتان و سطح تحمل به تنش‌های غیرزیستی مختلف مانند گرما، خشکی و سرما انجام شده است. فروکتان‌ها ممکن است به عنوان محافظت

جدول ۲- تجزیه واریانس میزان پرولین و فروکتان در ژنتیپ‌های جو تحت شرایط تنفس سرمای دیررس بهاره

Table 2. Analysis of variance of proline and fructan in barley genotypes under late cold stress conditions

Sources of variation	df	Mean square	
		Proline	Fructan
Genotype	59	121.89**	0.225**
Temperature	1	905.97**	4.05**
Genotype × Temperature	59	21.98**	0.10**
Experimental error	240	0.41	0.021
CV (%)		6.87	16.83

** Significant at 1% probability level.

جدول ۳- مقایسه میانگین پرولین و فروکتان در ۶۰ ژنتیپ جو مورد مطالعه تحت شرایط تنفس سرمای دیررس بهاره

Table 3. Mean comparison of proline and furctan traits in 60 studied barley genotype under late cold stress conditions

No.	Genotype	Fructan ($\mu\text{mol.g}^{-1}$ FW)		Proline ($\mu\text{mol.g}^{-1}$ FW)		No.	Genotype	Fructan ($\mu\text{mol.g}^{-1}$ FW)		Proline ($\mu\text{mol.g}^{-1}$ FW)	
		+8°C	-2°C	+8°C	-2°C			+8°C	-2°C	+8°C	-2°C
1	TN-02-6282	8.91	10.98	0.61	0.73	31	TN-02-6654	10.61	3.79	0.90	1.53
2	TN-02-6287	5.98	7.88	0.56	1.09	32	TN-02-6655	3.94	8.28	0.81	0.70
3	TN-02-6297	5.49	9.94	0.31	0.59	33	TN-02-6721	11.28	14.79	0.75	1.30
4	TN-02-6307	7.34	7.93	0.58	1.04	34	TN-02-6722	7.5	8.77	0.69	0.86
5	TN-02-6331	2.74	4.72	0.48	1.13	35	TN-02-6723	15.53	18.03	0.91	0.87
6	TN-02-6333	3.96	6.92	0.54	1.19	36	TN-02-6729	5.27	6.23	0.74	0.80
7	TN-02-6392	4.96	8.86	0.76	0.62	37	TN-02-6734	17.13	19.87	0.75	1.41
8	TN-02-6396	4.95	8.32	0.78	0.90	38	TN-02-6743	5.29	18.28	0.68	0.89
9	TN-02-6398	3.88	6.06	0.57	0.67	39	TN-02-6760	10.19	4.63	0.83	1.05
10	TN-02-6400	5.36	17.8	0.86	0.53	40	Auxin	13.95	15.27	0.54	1.09
11	TN-026407	3.99	5.01	0.79	1.29	41	Sahra	15.21	20.21	1.37	1.46
12	TN-02-6279	8.78	4.75	0.51	0.67	42	Nike	15.63	18.08	0.71	1.70
13	TN-02-6250	4.3	10.98	0.60	0.72	43	Jolghe	13.02	20.67	0.69	1.20
14	TN-02-6221	5.49	11.9	0.83	0.92	44	Fajr	13.03	18.66	0.61	0.82
15	TN-02-6208	5.73	14.16	0.76	0.88	45	Zahak	8.03	17.56	0.91	1.66
16	TN-02-6189	5.23	6.34	0.81	0.87	46	Behrokh	4.06	5.25	0.65	0.85
17	TN-02-6177	4.98	13.97	0.78	0.60	47	Nimroz	8.36	14.08	0.94	0.87
18	TN-02-6065	5.58	9.06	0.80	0.88	48	Kavir	16.09	18.84	1.10	1.12
19	TN-02-6053	6.9	8.83	0.41	0.90	49	Fajr30	4.006	13.25	1.08	0.83
20	TN-02-6052	8.22	10.45	0.58	0.77	50	Khatam	13.99	20.05	0.94	1.15
21	TN-02-5026	13.58	15.84	0.76	0.95	51	Bahman	13.2	21.8	0.75	0.79
22	TN-02-5014	7.99	13.62	0.67	0.92	52	Zarjo	2.89	3.87	0.94	1.24
23	TN-02-5009	4.15	5.9	0.59	1.14	53	Gohran	4.12	4.99	0.72	0.69
24	TN-02-4988	10.24	14.9	0.76	0.94	54	Jonob	4.94	8.26	1.30	1.45
25	TN-02-4975	2.29	5.8	0.72	0.84	55	Dasht	14.56	17.89	1.10	1.19
26	TN-02-4952	3.41	1.95	0.54	0.88	56	Reyhan	6.37	7.78	1.06	1.10
27	TN-02-4941	3.76	5.98	0.53	0.69	57	Nosrat	2.25	3.7	0.65	1.07
28	TN-02-4835	11.86	4.15	0.89	0.87	58	Reyhan03	14.77	17.41	0.96	0.95
29	TN-02-6477	2.97	5.33	0.76	0.83	59	Joseph	8.23	10.44	0.86	0.76
30	TN-02-6502	7.49	10.29	0.65	0.74	60	Makoi	5.49	8.42	0.62	0.82
HSD [†]	-	2.22	2.21	0.47	0.52	HSD [†]	-	2.22	2.21	0.47	0.52

[†] HSD indicates Tukey's honestly significant difference test at 5% probability level.

تجزیه و تحلیل داده‌های ژنوتیپی

تنوع ژنتیکی جمعیت

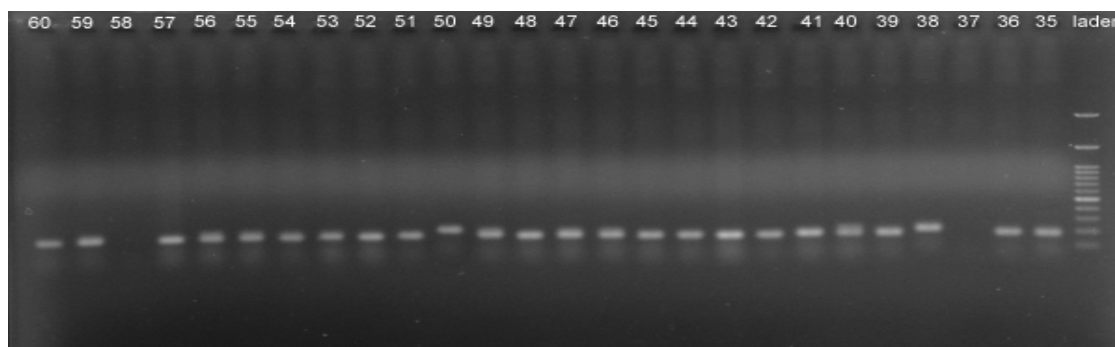
جهت ارزیابی تنوع ژنتیکی انتخاب شدند (جدول ۱). آغازگرهای مورد استفاده در مجموع ۹۷ آلل با میانگین ۵/۳۸ آلل در هر جایگاه تکثیر کردند. تعداد آلل‌های مشاهده شده در مکان‌های ژنی بین ۴ تا ۷ آلل متغیر بود. آغازگرهای Ebmac0679، Bmag0223، Bmag0032، Ebmac0677 و Bmag0211 با تعداد ۷ آلل بیشترین تعداد آلل را تکثیر کردند (جدول ۴). تفاوت در تعداد آلل‌های مشاهده شده می‌تواند ناشی از وجود کپی‌های متعدد در یک ژنوم، اختلاف در تعداد توالی‌های تکراری، نوع نوکلئوتیدها، آلل‌های نادر و تفاوت در پایه ژنتیکی آن‌ها باشد.

به منظور ارزیابی تنوع و تعیین فاصله ژنتیکی بین ژنوتیپ‌های مورد بررسی جو از ۲۰ نشانگر ریزماهواره (SSR) استفاده و برای مشاهده تنوع بین ژنوتیپ‌ها، محصول PCR نشانگرها روی ژل آگارز- متافور بارگذاری شد. شکل (۱) نوارهای الکتروفورز محصول PCR نشانگر Bmag0211 را به عنوان نمونه نشان می‌دهد. نتایج حاصل از الکتروفورز نشان داد که دو نشانگر یکشکل بودند و در نتیجه از محاسبات حذف و فقط ۱۸ نشانگر چندشکل

جدول ۴- تعداد آلل‌ها، فراوانی آلل رایج، محتوای اطلاعات چندشکلی و تنوع ژنی نشانگرها در ۶۰ ژنوتیپ جو

Table 4. Number of alleles, common allele frequency, polymorphic information content and gene diversity of the studied SSR markers in 60 barley genotypes

Marker	Number of alleles	Common allele frequency	Polymorphic information content	Gene diversity
Bmag0007	5	0.52	0.59	0.63
Hvm54	4	0.43	0.61	0.67
Bmag0032	7	0.21	0.82	0.84
Hvm40	6	0.29	0.74	0.77
Bmag0211	4	0.46	0.61	0.67
Ebmac0602	6	0.33	0.74	0.77
Ebmac0674	4	0.41	0.60	0.66
Ebmac0518	6	0.38	0.72	0.76
Bmag0223	7	0.27	0.77	0.80
Bmag0323	6	0.33	0.70	0.74
Ebmac0679	7	0.41	0.70	0.74
Bmac0518	5	0.28	0.73	0.77
Bmag0381	4	0.42	0.64	0.70
Bmag0606	4	0.35	0.64	0.70
Bmag0603	6	0.23	0.78	0.81
Bmag0011	4	0.37	0.62	0.68
Bmag0173	6	0.35	0.69	0.73
Bmag0125	6	0.23	0.78	0.81
Average	5.38	0.35	0.69	0.74



شکل ۱- الگوی نوارهای الکتروفورز محصول PCR نشانگر Bmag0211 در تعدادی از ژنوتیپ‌های جو زراعی روی ژل آگارز- متافور
Figure 1. Electrophoresis banding pattern of PCR product for Bmag0211 marker in some barley genotypes on agarose-metaphor gel

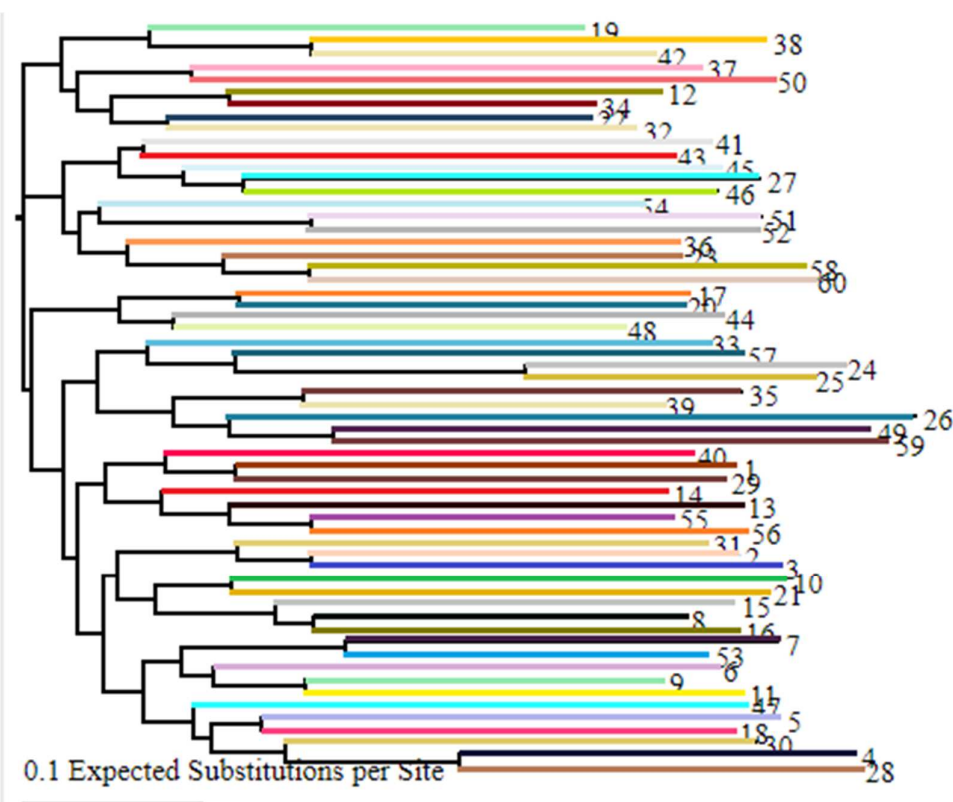
بیشتری داشتند. همچنین، بررسی سه شاخص محتوای اطلاعات چندشکلی، تنوع ژنی و فراوانی آلل رایج نشان داد که نشانگرهایی با PIC و تنوع ژنی بالا، فراوانی آلل رایج کمتری داشتند. بنابراین، جایگاههایی با فراوانی آلل رایج کمتر، قدرت ظهور چندشکلی بیشتری را خواهند داشت. در مطالعه‌ای که با ۶۴ ژنوتیپ جو زراعی و ۱۴ آغازگر انجام شد، متوسط تعداد آلل‌های مؤثر $5/23$ آلل برآورد شد (Hajmansoor *et al.*, 2010). در مطالعه دیگری روی ۲۴ رقم جو زراعی با استفاده از ۱۰ نشانگر ریزماهواره، تعداد آلل‌های مؤثر از $1/96$ تا 4 آلل گزارش شد (Mojirsheibani *et al.*, 2013). با توجه به تمامی این مطالعات و بررسی‌ها، تفاوت در تعداد آلل شناسایی شده در مطالعات مختلف می‌تواند بهدلیل منشأ و ویژگی‌های متفاوت ژنوتیپ‌های مورد مطالعه و نیز ماهیت نشانگرهای ریزماهواره از نظر تعداد نوکلئوتید واحدهای تکراری (اختلاف در تعداد آن‌ها) و آلل‌های نادر باشد.

تجزیه خوشه‌ای

در بین روش‌های مختلف تجزیه‌های چند متغیره، تجزیه خوشه‌ای از جمله مهم‌ترین روش‌های آماری است که به طور گسترده‌ای در اصلاح نباتات برای گروه‌بندی Mohammadi & (Prasanna, 2003; Vus *et al.*, 2020 خوشه‌ای افراد داخل یک خوشه دارای بیشترین شباهت بوده و بین خوشه‌ها بیشترین تفاوت وجود دارد. بنابراین اگر گروه‌بندی درست انجام گیرد، اجزاء یا افراد داخل خوشه‌ها از لحاظ ژنتیکی بهم نزدیک‌تر و افراد خوشه‌های متفاوت از هم دورترند (Wu *et al.*, 2019). نتایج تجزیه خوشه‌ای با استفاده از روش نزدیک‌ترین همسایه‌ها (Neighbor-Joining)، ژنوتیپ‌های مورد بررسی جو را در چهار خوشه اصلی گروه‌بندی کرد (شکل ۲، جدول ۵). نتایج تجزیه خوشه‌ای نشان داد که برخی از ارقام به‌واسطه داشتن شباهت بیشتر از نظر جایگاههای ژنی مشترک ریزماهواره‌ها، در یک گروه قرار گرفتند. در مطالعه آنیو و همکاران (Enyew *et al.*, 2019) ۵۲ ژنوتیپ جو بومی اتیوپی در شش خوشه تفکیک و ژنوتیپ‌های زودرس، دیررس و همچنین ژنوتیپ‌های با عملکرد بالا و پابلند در خوشه‌های متفاوت گروه‌بندی شدند.

محتوای اطلاعات چندشکلی (PIC) یکی از شاخص‌های مهم است که به‌وسیله آن می‌توان به ارزش یک نشانگر برای نشان دادن چندشکلی درون جمعیت و مقایسه نشانگرها از لحاظ قدرت تمایز آن‌ها بی برد. میانگین PIC به‌دست آمده برای ۱۸ نشانگر $0/69$ بود. کمترین میزان PIC با مقدار $0/59$ مربوط به نشانگر Bmag0007 و بیشترین میزان آن با $0/82$ مربوط به نشانگر Bmag0603 و پس از آن، نشانگرهای Bmag0032 و Bmag0125 هر دو با $0/78$ بود. در نتیجه این سه نشانگر قدرت بیشتری در ایجاد چندشکلی و تمایز ژنوتیپ‌های مورد بررسی جو زراعی دارند. تنوع ژنی یکی دیگر از معیارهای ارزیابی تنوع آللی نشانگرها و میزان اطلاعات نشانگری در مطالعات بررسی تنوع و ساختار ژنتیکی جمعیت‌ها است. میزان تنوع ژنی از $0/63$ تا $0/84$ با متوسط $0/74$ متغیر بود. مقایسه میزان PIC و تنوع ژنی نشان داد که این دو شاخص رابطه مستقیمی با هم دارند. بونمن و همکاران (Bonman *et al.*, 2011) در ارزیابی $20/6$ ژنوتیپ جو در 29 جایگاه ریزماهواره، متوسط تعداد آلل و PIC به ترتیب $12/03$ آلل و $0/73$ گزارش کردند و ژنوتیپ‌های مورد مطالعه را به چهار گروه اصلی تفکیک کردند. خدایاری و همکاران (Khodayari *et al.*, 2012) نیز در بررسی تنوع ژنتیکی 32 توده بومی دو و شش ردیفه جو با 17 نشانگر ریزماهواره، تنوع بالایی با متوسط PIC برابر با $0/651$ و متوسط تعداد $8/117$ آلل در هر مکان گزارش کردند. در تحقیق دیگری 119 ژنوتیپ بومی جو از کشورهای مختلف و 25 رقم تجاری و لاین اصلاحی با استفاده از 45 نشانگر SSR مورد بررسی قرار گرفت و در نهایت 225 آلل با میانگین 5 آلل در هر جایگاه گزارش شد (Shuorvazdi *et al.*, 2014).

آل رایج (Common allele frequency) آللی است که بیشترین فراوانی را بین آلل‌های مشاهده شده برای نشانگر مورد بررسی دارد. فراوانی آلل رایج از $0/21$ در Bmag0007 تا $0/52$ در نشانگر Bmag0032 متغیر و متوسط فراوانی آلل رایج در کل جایگاه‌های ریزماهواره مورد مطالعه $0/35$ بود. مقایسه تعداد آلل و فراوانی آلل رایج در جایگاه‌های ریزماهواره نشان داد که نشانگرهایی با تعداد آلل چندشکل کمتر، فراوانی آلل رایج



شکل ۲- تجزیه خوشبای ژنتیپ‌های جو بر اساس نشانگرهای SSR به روش Neighbor-Joining

Figure 2. Cluster analysis of barley genotypes based on SSR markers by Neighbor-Joining method using TASSEL software

جدول ۵- گروه‌های حاصل از تجزیه خوشبای ۶۰ ژنتیپ جو با استفاده از نشانگرهای SSR

Table 5. Groups resulting from cluster analysis of 60 barley genotypes using SSR markers

Group	Genotypes in each group
First	32-22-34-12-50-37-42-38-19
Second	60-58-23-36-52-51-54-46-27-45-43-41
Third	17-20-44-48
Fouth	33-57-24-25-35-39-26-49-59-40-1-29-14-13-55-56-31-2-3-10-21-15-8-16-7-53-6-9-11-47-5-18-30-4-28

مبناً فاصله مطرح و روش خوشبندی بر مبنای مدل Bayesian را پیشنهاد کردند. به کمک این روش حتی با استفاده از تعداد اندکی نشانگر مولکولی تجزیه مؤثر ساختار جمعیت و دسته‌بندی افراد به زیر‌جمعیت‌های مناسب و تشخیص افراد مختلط امکان‌پذیر می‌شود. تجزیه مؤثر ساختار ژنتیکی جمعیت و دسته‌بندی دقیق افراد به زیر‌جمعیت‌ها، دو زیر‌جمعیت احتمالی را در ژنتیپ‌های مورد مطالعه شناسایی کرد که به عنوان K بهینه در تخمین ساختار جمعیت و محاسبه ماتریس Q استفاده شد (شکل ۳). انتساب افراد به زیر‌جمعیت‌ها مطابق روش اسپاتارو و همکاران (Spataro *et al.*, 2011) انجام شد و

تجزیه ساختار جمعیت

در مطالعات تجزیه ارتباطی از جمعیت‌های طبیعی استفاده می‌شود و بهتر است که جمعیت مورد بررسی فاقد هر گونه ساختار باشد، زیرا وجود ساختار در جمعیت عامل بازدارنده در جهت دستیابی به نتایج قابل اعتماد است (Pritchard & Donnelly, 2001)، به طوری که اگر اثر ساختار جمعیت و روابط خویشاوندی در تجزیه ارتباط کنترل نشوند، نتایج مثبت دروغین می‌تواند حاصل شود (Bresegheello & Sorrells, 2006). پریچارد و دانلی (Pritchard & Donnelly, 2001) بحث‌هایی در مورد برخی محدودیت‌های موجود در روش‌های خوشبندی بر

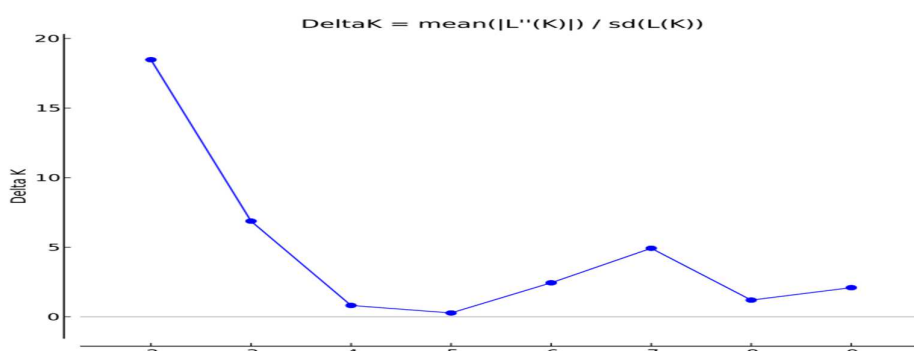
گرفته می‌شوند. بر اساس نتایج ارائه شده در بارپلات، از کل ۶۰ رقم مورد مطالعه جو بر اساس نشانگرهای SSR، ۳۰ رقم (۵۰ درصد) به ساختار اول (قرمز) و ۲۵ رقم (۴۱/۶۶ درصد) به ساختار دوم (سبز) تعلق گرفت و ۵ رقم (۸/۳۳ درصد) نیز ساختار مختلط داشتند (شکل ۴).

برای هر گروه درصد عضویت برآورد شد. بر اساس این روش وقتی درصد عضویت یک ژنتیپ به یک خوش بیشتر یا مساوی ۰/۷ باشد، ژنتیپ به آن خوش تعلق می‌گیرد و ژنتیپ‌های با درصد عضویت کمتر از ۰/۷ به عنوان ژنتیپ ترکیبی یا مخلوط (Admix) در نظر

جدول ۶- آماره‌های محاسبه شده برای مقادیر بهینه K با استفاده از نرم‌افزار Structure

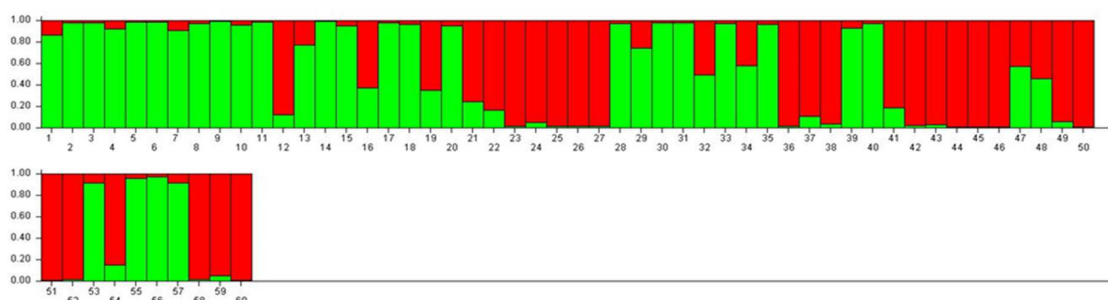
Table 6. Calculated statistics for optimal values of K using Structure software

K	Mean LnP (K)	LnP (K)	Ln' (K)	Ln'' (K)	ΔK
1	-3241.87	0.581	—	—	—
2	-3062.50	2.672	179.37	49.380	18.474
3	-2932.51	3.433	129.99	23.610	6.876
4	-2826.13	17.360	106.38	14.180	0.816
5	-2733.93	24.037	92.20	6.650	0.276
6	2648.38	35.525	85.55	86.820	2.443
7	-2649.65	119.073	-1.270	586.490	4.925
8	-3237.41	923.202	-587.76	1108.160	1.200
9	-2717.01	421.458	520.400	883.020	2.095
10	-3079.63	636.248	-362.620	—	—



شکل ۳- نمودار دوطرفه برای تعیین تعداد زیرمجموعیت‌ها (K=2) در توده‌های بومی و تجاری جو زراعی مورد بررسی بر اساس نشانگرهای SSR در نرم‌افزار Structure Harvester با استفاده از نرم‌افزار Structure

Figure 3. Two-way charts to determine the number of subpopulations (K=2) in the investigated native and commercial barley based on SSR markers in Structure software using Structure Harvester



شکل ۴- تجزیه خوش‌های مبتنی بر مدل بیزین برای ۶۰ ژنتیپ مورد مطالعه جو بر اساس نشانگر SSR. هر رنگ یک زیرمجموعی را نشان می‌دهد. اعداد روی محورهای افقی و عمودی به ترتیب شماره ژنتیپ و ضریب تعلق (Q) هر ژنتیپ به دو زیرمجموعی را نشان می‌دهند.

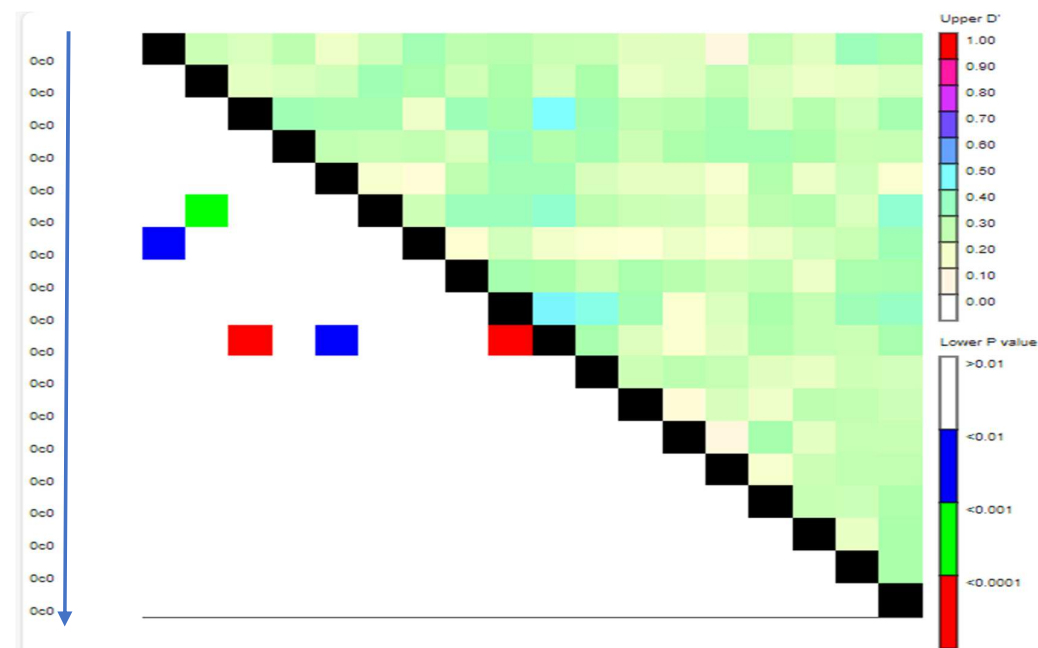
Figure 4. Bayesian model based-cluster analysis of the studied 60 barley genotypes using ISSR markers. The numbers on the x- and y-axis indicate the genotype number and the membership coefficient (Q) of each genotype to the two subpopulations, respectively.

مدل خطی مخلوط (MLM; Mixed Linear Model) پیشنهاد شده است. در روش GLM فقط ساختار جمعیت (ماتریس Q) در نظر گرفته می‌شود، در حالی که در روش MLM علاوه بر ماتریس ساختار جمعیت، ماتریس روابط خویشاوندی بین افراد جمعیت (ماتریس K) نیز به عنوان متغیر کمکی (Covariate) در تجزیه ارتباط در نظر گرفته می‌شود و بنابراین روابط و پیوستگی‌های دروغین بین نشانگر و صفت به حداقل می‌رسد و نتایج دقیق‌تر و قابل اعتمادتری در مقایسه با مدل GLM به دست می‌آید (Breseghezzo & Sorrells, 2006). در مطالعه حاضر، تجزیه ارتباطی بر اساس مدل MLM به صورت جداگانه برای دو شرایط دمایی ($+8^{\circ}\text{C}$ و -2°C) انجام شد. نتایج نشان داد که در مجموع پنج نشانگر SSR با ژن‌های کنترل کننده صفات مورد بررسی در سطح احتمال پنج درصد ارتباط معنی‌داری داشتند. از این تعداد، سه نشانگر (Bmag0518, Bmag0211, Ebmac0674) با ژن‌های میزان پرولین در شرایط تنش دمایی -2°C ، یک نشانگر (Bmag0223) با ژن‌های میزان پرولین در شرایط دمای $+8^{\circ}\text{C}$ و یک نشانگر (Bmag0173) با ژن‌های میزان فروکتان در شرایط دمای $+8^{\circ}\text{C}$ ارتباط معنی‌داری نشان دادند (جدول ۷)، و نشانگر دارای ارتباط معنی‌دار با میزان فروکتان در شرایط دمای -2°C شناسایی نشد.

مطالعات متعددی برای شناسایی ژن‌های کنترل کننده صفات مختلف در جو انجام شده است. روی و همکاران (Roy *et al.*, 2010) واکنش ۳۱۸ نمونه ژنتیکی جو وحشی را نسبت به بیماری لکه قهوه‌ای در مرحله گیاهچه‌ای ارزیابی و با استفاده از روش تجزیه ارتباطی، ۱۳ ناحیه واحد QTL‌های کنترل کننده مقاومت به این بیماری را با r^2 بین $2/3$ تا $3/9$ درصد شناسایی کردند. وانگ و همکاران (Wang *et al.*, 2016) از نشانگرهای SNP و SSR به منظور تهییه نقشه ژنتیکی و شناسایی QTL‌های کنترل کننده صفات زراعی در یک جمعیت دابل هاپلوبتید جو استفاده کردند. در مطالعه دیگری، QTL‌های کنترل کننده صفات گیاهچه‌ای جو تحت شرایط کشت هیدروپونیک در یک جمعیت دابل هاپلوبتید شناسایی شد (Wang *et al.*, 2017). امروزه کاربرد اغلب مطالعات نقشه‌یابی ارتباطی در گیاهان محدود به گونه‌های گیاهی مهم با ژنوم شناخته شده است. علاوه بر این، تعداد محدودی از QTL‌های شناسایی شده در سطح ژن همسانه‌سازی شده‌اند.

(Linkage Diequilibrium) عدم تعادل پیوستگی پایه و اساس تجزیه ارتباطی، عدم تعادل پیوستگی (LD; Linkage Disequilibrium) است که نشان‌دهنده همبستگی غیرتصادفی آلل‌ها در مکان‌های ژنتیکی مختلف روی یک کروموزوم (گروه پیوستگی) یا کروموزوم‌های مختلف است. مکان‌یابی QTL‌ها در ژنتیک کمی بر اساس عدم تعادل پیوستگی صورت می‌گیرد. علاوه بر ترکیب ساختار جمعیت، گستره عدم تعادل پیوستگی (LD) در ژنوم از اهمیت اساسی برخوردار است (Al-Maskri *et al.*, 2012). میزان LD در نتیجه اتفاقات نوترکیبی که در طول زمان رخ می‌دهد، کاهش می‌یابد. در صورتی که تعداد اتفاقات نوترکیبی بیش‌تری بین دو مکان ژنی اتفاق افتد، LD سریع‌تر زوال پیدا می‌کند. اگر LD داخل یک منطقه خیلی سریع زوال پیدا کند، برای پویش آن منطقه ژنومی به تعداد زیادی نشانگر در آن ناحیه نیاز خواهد بود. از طرف دیگر، اگر LD خیلی آهسته زوال پیدا کند، اندازه بلوک‌های هاپلوتایپی بسیار بزرگ خواهد بود و در نتیجه به طور واضح نمی‌توان مکان ژنی علی را شناسایی کرد (Tahmasbali *et al.*, 2021). از روش‌هایی که برای نمایش چگونگی کاهش عدم تعادل پیوستگی مورد استفاده قرار می‌گیرد، ترسیم ماتریس عدم تعادل بین جایگاه‌های ژنی است (شکل ۵). ماتریس عدم تعادل، ماتریسی قطری است که دو طرف آن را جایگاه‌های ژنی (نشانگرها) تشکیل می‌دهند. عناصر بالای قطر اصلی، میزان عدم تعادل پیوستگی و عناصر پایین قطر اصلی، میزان سطح احتمال را برای آزمون دقیق فیشر به صورت بلوک‌های رنگی نشان می‌دهد، در نتیجه ماتریس به شکل مربع است. همان‌گونه که مقایس‌بندی سمت راست شکل (۵) نشان می‌دهد، رنگ‌های قرمز و سفید عناصر بالای قطر اصلی به ترتیب به معنی عدم تعادل پیوستگی مطلق و تعادل پیوستگی و رنگ‌های آبی و سفید در پایین قطر اصلی به ترتیب معنی داری یا غیرمعنی داری عدم تعادل پیوستگی در سطح احتمال یک درصد را نشان می‌دهند. عدم تعادل پیوستگی به‌وسیله دو آماره D' و r^2 اندازه‌گیری می‌شود. در این مطالعه ارزش r^2 بین $0/0$ تا $0/17$ بود (جدول ۷).

تجزیه ارتباطی نشانگر - صفت
به طور کلی برای تجزیه ارتباطی دو روش شامل مدل خطی عمومی (GLM; General Linear Model)



شکل ۵- پلات عدم تعادل پیوستگی (LD plot) در ژنتیک‌های جو با استفاده از نرم‌افزار TASSEL. قسمت بالای قطر میزان عدم تعادل پیوستگی با استفاده از آماره D و قسمت پایین قطر سطح احتمال معنی‌دار عدم تعادل پیوستگی بین نشانگرها را نشان می‌دهد.
Figure 5. Linkage disequilibrium plot (LD plot) in barley genotypes using TASSEL software. The upper part of diameter shows degree of linkage disequilibrium using the D statistic and the lower part of the diameter shows the the significant level (P-value) for linkage disequilibrium between marker pairs.

جدول ۷- نشانگرها پیوسته با صفات ارزیابی شده در ارقام مورد مطالعه جو با استفاده از مدل MLM

Table 7. Associated markers with traits evaluated in studied barley cultivars using MLM model

Trait	Marker	Temperature	P-value	R ²
Proline	Bmag0518	-2 °C	0.0092	0.20
Proline	Bmag0211	-2 °C	0.019	0.17
Proline	Ebmac0674	-2 °C	0.0453	0.12
Proline	Bmag0223	+8 °C	0.0469	0.21
Fructan	Bmag0173	+8 °C	0.0498	0.177

جمعیت مورد مطالعه نشان داد. نتایج تجزیه ارتباطی بر اساس مدل خطی مخلوط (MLM)، در مجموع پنج ارتباط معنی‌دار ($P\text{-value} < 0.05$) نشانگر- صفت را بین نشانگرها SSR با مقادیر پرولین و فروکتان تحت دو شرایط دمایی شناسایی کرد. از این تعداد، سه مکان (Bmag0518, Bmag0211, Ebmac0674) کنترل کننده پرولین تحت شرایط دمای -2°C ، یک مکان (Bmag0223) با ژن‌های کنترل کننده پرولین تحت شرایط دمای $+8^{\circ}\text{C}$ و یک مکان (Bmag0173) با ژن‌های کنترل کننده فروکتان تحت شرایط دمای $+8^{\circ}\text{C}$ ارتباط معنی‌دار داشتند. از نشانگرها شناسایی شده، بعد از اعتبارسنجی، می‌توان برای بهبود مقاومت به سرما در جو از طریق اصلاح به کمک نشانگر استفاده کرد.

نتیجه‌گیری کلی

به منظور بررسی تنوع ژنتیکی، تعیین الگوی عدم تعادل پیوستگی و تجزیه ارتباطی میزان پرولین و فروکتان در جو زراعی، ۶۰ ژنتیپ به صورت فاکتوریل در قالب طرح کاملاً تصادفی با سه تکرار تحت شرایط نرمال ($+8^{\circ}\text{C}$) و تنش سرمای دیررس بهاره (-2°C) ارزیابی شدند. بر اساس نتایج تجزیه واریانس داده‌ها، تفاوت معنی‌داری بین ارقام جو از نظر هر دو صفت مورد مطالعه در هر دو شرایط دمایی $+8^{\circ}\text{C}$ و -2°C مشاهده شد. محتوای اطلاعات چند شکلی از $0/59$ تا $0/82$ به ترتیب در نشانگرها Bmag0032 و Bmag0007، تنوع ژنی از $0/63$ تا $0/84$ با متوسط $0/74$ و فراوانی آلل رایج از $0/21$ تا $0/52$ متغیر بود. تجزیه ساختار جمعیت، وجود دو زیرجمعیت را در

تضاد منافع

نویسنده‌گان تایید می‌کنند که این تحقیق در غیاب هرگونه روابط تجاری یا مالی می‌تواند به عنوان تضاد منافع بالقوه تعییر شود، انجام شده است.

اجازه انتشار مقاله

نویسنده‌گان با چاپ این مقاله به صورت دسترسی باز موافقت کرده و کلیه حقوق استفاده از محتوا، جدول‌ها، شکل‌ها، تصویرها و غیره را به ناشر واگذار می‌کنند.

رعایت اخلاق در نشر

نویسنده‌گان اعلام می‌کنند که در نگارش این مقاله به طور کامل از اخلاق نشر از جمله سرقت ادبی، سوء‌رفتار، جعل داده‌ها و انتشار دوگانه، پیروی کرده‌اند. همچنین این

References

- Al-Maskri, A. H., Sajjad, M., & Khan, S. H. (2012). Association mapping: a step forward to discovering new alleles for crop improvement. *International Journal of Agriculture & Biology*, 14, 153-160. doi: [10.13140/2.1.1925.9524](https://doi.org/10.13140/2.1.1925.9524).
- Atıcı, Ö., & Nalbantoğlu, B. (2003). Antifreeze proteins in higher plants. *Phytochemistry*, 64(7), 1187-1196. doi: [10.1016/S0031-9422\(03\)00420-5](https://doi.org/10.1016/S0031-9422(03)00420-5).
- Bartlett, M. S. (1937). Properties of sufficiency and statistical test. *Proceedings of the Royal Society A*, 160, 268-282.
- Bonman, J. M., Gu, Y., Coleman-Derr, D., Jackson, E. W., & Bockelman, H. E. (2011). Inferring geographic origin of barley (*Hordeum vulgare* L. subsp. *vulgare*) accessions using molecular markers. *Genetic Resources & Crop Evolution*, 58, 291-298. doi: [10.1007/s10722-010-9574-4](https://doi.org/10.1007/s10722-010-9574-4).
- Brbaklić, L., Trkulja, D., Mikić, S., Miroslavljević, M., Momčilović, V., Dudić, B., & Aćin, V. (2021). Genetic diversity and population structure of Serbian barley (*Hordeum vulgare* L.) collection during a 40-year long breeding period. *Agronomy*, 11(1), 118. doi: [10.3390/agronomy11010118](https://doi.org/10.3390/agronomy11010118).
- Bresegheello, F., & Sorrells, M. E. (2006). Association analysis as a strategy for improvement of quantitative traits in plants. *Crop Science*, 46, 1323-1330. doi: [10.2135/cropsci2005.09-0305](https://doi.org/10.2135/cropsci2005.09-0305).
- Carillo, P., & Gibon, Y. (2011). Protocol: Extraction and determination of proline. *PrometheusWiki*, 1-5. <https://hdl.handle.net/11591/322173>.
- Chalecka, M., Kazberuk, A., Palka, J., & Surazynski, A. (2021). P5C as an interface of proline interconvertible amino acids and its role in regulation of cell survival and apoptosis. *International Journal of Molecular Sciences*, 22(21), 11763. doi: [10.3390/ijms222111763](https://doi.org/10.3390/ijms222111763).
- Choudhir, G., & Vasistha, N. K. (2021). Engineering fructan biosynthesis against abiotic stress. In: Wani, S. H., Gangola, M. P., & Ramadoss, B. R. (Eds.). *Compatible Solutes Engineering for Crop Plants Facing Climate Change*. Springer, Cham. pp. 145-170. doi: [10.1007/978-3-030-80674-3_6](https://doi.org/10.1007/978-3-030-80674-3_6).
- Cozzolino, D., Degner, S., & Eglinton, J. (2016). Relationships between fructans content and barley malt quality. *Food Analytical Methods*, 9(7), 2010-2015. doi: [10.1007/s12161-015-0386-1](https://doi.org/10.1007/s12161-015-0386-1).
- Evanno, G., Regnaut, S., & Goudet, J. (2005). Detecting the number of clusters of individuals using the software STRUCTURE: A simulation study. *Molecular Ecology*, 14, 2611-2620. doi: [10.1111/j.1365-294X.2005.02553.x](https://doi.org/10.1111/j.1365-294X.2005.02553.x).
- Enyew, M., Dejene, T., Lakew, B., & Woreda, F. (2019). Clustering and principal component analysis of barley (*Hordeum vulgare* L.) landraces for major morphological traits from North Western Ethiopia. *International Journal of Agricultural Science & Food Technology*, 5(2), 58-63. doi: [10.17352/2455-815X.000043](https://doi.org/10.17352/2455-815X.000043).
- FAO. (2020). FAOSTAT Agriculture. Food and Agriculture Organization of the United Nations, Rome, Italy. Retrieved June 15, 2020. <http://www.fao.org/faostat/en/#home>.
- Gumede, M. T., Gerrano, A. S., Amelawork, A. B., & Modi, A. T. (2022). Analysis of genetic diversity and population structure of cowpea (*Vigna unguiculata* L.) genotypes using single nucleotide polymorphism markers. *Plants*, 11(24), 3480. doi: [10.3390/plants11243480](https://doi.org/10.3390/plants11243480).

- Hajmansoor, S., Bihamta, M. A., Nabipour, A., Mohammadi, A., Pirseyedi, M., & Nikkhah H. R. (2010). Genetic diversity in barley genotypes: II. Microsatellite markers and morphological traits. *Seed & Plant Journal*, 26(2), 150-172. [In Persian]. doi: [10.22092/spij.2017.110955](https://doi.org/10.22092/spij.2017.110955).
- Hajihashemi, S., Noedost, F., Geuns, J. M., Djalovic, I., & Siddique, K. H. (2018). Effect of cold stress on photosynthetic traits, carbohydrates, morphology, and anatomy in nine cultivars of *Stevia rebaudiana*. *Frontiers in Plant Science*, 9, 1430. doi: [10.3389/fpls.2018.01430](https://doi.org/10.3389/fpls.2018.01430).
- Haghpanah, K., Mirfakhraee, S. R., Khodadadi, M., & Shamsifar, S. (2020). Study on genetic diversity of some barley (*Hordeum vulgare L.*) cultivars using SSR marker and physiological traits plant pigments and proline under late cold stress. *Journal of Crop Breeding*, 12(34), 199-209. [In Persian]. doi: [10.29252/jcb.12.34.199](https://doi.org/10.29252/jcb.12.34.199).
- Hoban, S., Bruford, M. W., Funk, W. C., Galbusera, P., Griffith, M. P., Grueber, C. E., & Heuertz, M., Hunter, M. E., Hvilsom, C., Stroil, B. K., Kershaw, F., Khoury, C. K., Laikre, L., Lopes-Fernandes, M., MacDonald, A. J., Mergeay, J., Meek, M., Mittan, C., Mukassabi, T. A., O'Brien, D., Ogden, R., PALMA-SILVA, C., Ramakrishnan, U., Segelbacher, G., Shaw, R. E., Sjögren-Gulve, p., Veličković, N., & Vernesi, C. (2021). Global commitments to conserving and monitoring genetic diversity are now necessary and feasible. *Bioscience*, 71(9), 964-976. doi: [10.1093/biosci/biab054](https://doi.org/10.1093/biosci/biab054).
- Hosseinfard, M., Stefaniak, S., Ghorbani Javid, M., Soltani, E., Wojtyla, Ł., & Garnczarska, M. (2022). Contribution of exogenous proline to abiotic stresses tolerance in plants: A review. *International Journal of Molecular Sciences*, 23(9), 5186. doi: [10.3390/ijms23095186](https://doi.org/10.3390/ijms23095186).
- Irsyadi, M. B., Sari, S. K., Oktiastuti, E., & Rineksane, I. A. (2024). Rapid genomic DNA extraction for Soybean (*Glycine max L. Merr*) using modified CTAB protocol to obtain high-quality DNA. *Indian Journal of Biochemistry & Biophysics*, 61(2), 97-104. doi: [10.56042/ijbb.v61i2.7603](https://doi.org/10.56042/ijbb.v61i2.7603).
- Jiang, J., Guo, Z., Sun, X., Jiang, Y., Xie, F., & Chen, Y. (2023). Role of proline in regulating turfgrass tolerance to abiotic stress. *Grass Research*, 3(1), 1-7. doi: [10.48130/GR-2023-0002](https://doi.org/10.48130/GR-2023-0002).
- Julca, I., Marcet-Houben, M., Cruz, F., Gómez-Garrido, J., Gaut, B. S., Díez, C. M., & Gabaldón, T. (2020). Genomic evidence for recurrent genetic admixture during the domestication of Mediterranean olive trees (*Olea europaea L.*). *BMC Biology*, 18, 148. doi: [10.1186/s12915-020-00881-6](https://doi.org/10.1186/s12915-020-00881-6).
- Kage, U., Kumar, A., Dhokane, D., Karre, S., & Kushalappa, A. C. (2016). Functional molecular markers for crop improvement. *Critical Reviews in Biotechnology*, 36(5), 917-930. doi: [10.3109/07388551.2015.1062743](https://doi.org/10.3109/07388551.2015.1062743).
- Karim, K., Rawda, A., Hatem, C. M., Mbarek, B. N., & Mokhtar, T. (2010). Analysis of genetic diversity and relationships in local Tunisian barley by RAPD and SSR analysis. *African Journal of Biotechnology*, 9(44), 7429. doi: [10.5897/AJB2010.000-3313](https://doi.org/10.5897/AJB2010.000-3313).
- Khodayari, H., Saeidi, H., Roofigar, A., Rahiminejad, M. R., Pourkheirandish, M., & Komatsuda, T. (2012). Genetic diversity of cultivated barley landraces in Iran measured using microsatellites. *International Journal of Bioscience, Biochemistry & Bioinformatics*, 2(4), 287-290. doi: [10.7763/IJBBB.2012.V2.118](https://doi.org/10.7763/IJBBB.2012.V2.118).
- Latutrie, M., Gourcilleau, D., & Pujol, B. (2019). Epigenetic variation for agronomic improvement: An opportunity for vegetatively propagated crops. *American Journal of Botany*, 106(10), 1281. doi: [10.1002/ajb2.1357](https://doi.org/10.1002/ajb2.1357).
- Liu, M., Li, Y., Ma, Y., Zhao, Q., Stiller, J., Feng, Q., Tian, Q., Liu, D., Han, B., & Liu, C. (2020). The draft genome of a wild barley genotype reveals its enrichment in genes related to biotic and abiotic stresses compared to cultivated barley. *Plant Biotechnology Journal*, 18(2), 443-456. doi: [10.1111/pbi.13210](https://doi.org/10.1111/pbi.13210).
- Márquez-López, R. E., Loyola-Vargas, V. M., & Santiago-García, P. A. (2022). Interaction between fructan metabolism and plant growth regulators. *Planta*, 255(2), 49. doi: [10.1007/s00425-022-03826-1](https://doi.org/10.1007/s00425-022-03826-1).
- Ministry of Agriculture Jihad. (2023). Agricultural Statistical Bulletin, Cropping year 2021-2022. Vol. 1. Crop Plants. Reports on the area, production and yield of crop plants. Information and Communication Technology Center, Ministry of Agriculture Jihad, Tehran, Iran. [In Persian].

- Miranda, C., Bilavcik, A., Chaloupka, R., Dreisiebner-Lanz, S., Gąstoł, M., Luedeling, E., & McCallum, S. (2019). EIP-AGRI Focus Group. Protecting fruit production from frost damage. Minipaper 5: Phenology and critical temperatures. European Commission. https://ec.europa.eu/eip/agriculture/sites/default/files/fg30_mp5_phenology_critical_temperatures.pdf.
- Mohammadi, S. A., & Prasanna, B. M. (2003). Analysis of genetic diversity in crop plants - salient statistical tools and considerations. *Crop Science*, 43(4), 1235-1248. doi: [10.2135/cropsci2003.1235](https://doi.org/10.2135/cropsci2003.1235).
- Mojirsheibani, E., Peyghambari, S. A., Yazdisamadi, B., Naghavi, M. R., & Ghadrdan, K. (2013). Evaluation of genetic diversity of barley (*Hordeum vulgare* L.) cultivars and relationship among traits using agronomic characteristics and molecular markers. *Iranian Journal of Crop Sciences*, 15(1), 46-59. [In Persian]. doi: [20.1001.1.15625540.1392.15.1.5.3](https://doi.org/10.1001.1.15625540.1392.15.1.5.3).
- Moose, S. P., & Mumm, R. H. (2008). Molecular plant breeding as the foundation for 21st century crop improvement. *Plant Physiology*, 147(3), 969-977. doi: [10.1104/pp.108.118232](https://doi.org/10.1104/pp.108.118232).
- Nabati, J., Nezami, A., Mirmiran, S. M., Hasafard, A. R., Hojjat, S. S., & Bagheri, A. (2020). Freezing tolerance in some lentil genotypes under controlled conditions. *Seed & Plant Journal*, 36(2), 183-205. doi: [10.22092/sppi.2020.123186](https://doi.org/10.22092/sppi.2020.123186).
- Nezami, A., Nabati, J., Mirmiran, S. M., Hasafard, A., & Mohammadi, M. (2022). How does the freezing stress in the seedling stage affect the chickpea's morpho-physiological and biochemical attributes? *Gesunde Pflanzen*, 75, 1107-1119. doi: [10.1007/s10343-022-00771-7](https://doi.org/10.1007/s10343-022-00771-7).
- Niu, S., Song, Q., Koiwa, H., Qiao, D., Zhao, D., Chen, Z., & Wen, X. (2019). Genetic diversity, linkage disequilibrium, and population structure analysis of the tea plant (*Camellia sinensis*) from an origin center, Guizhou Plateau, using genome-wide SNPs developed by genotyping-by-sequencing. *BMC Plant Biology*, 19, 328. doi: [10.1186/s12870-019-1917-5](https://doi.org/10.1186/s12870-019-1917-5).
- Park, L. (2019). Population-specific long-range linkage disequilibrium in the human genome and its influence on identifying common disease variants. *Scientific Reports*, 9(1), 11380. doi: [10.1038/s41598-019-47832-y](https://doi.org/10.1038/s41598-019-47832-y).
- Pritchard, J. K., & Donnelly, P. (2001). Case-control studies of association in structured or admixed populations. *Theoretical Population Biology*, 60(3), 227-237. doi: [10.1006/tpbi.2001.1543](https://doi.org/10.1006/tpbi.2001.1543).
- Roy, J. K., Smith, K. P., Muehlbauer, G. J., Chao, S., Close, T. J., & Steffenson, B. J. (2010). Association mapping of spot blotch resistance in wild barley. *Molecular Breeding*, 26, 243-256. doi: [10.1007/s11032-010-9402-8](https://doi.org/10.1007/s11032-010-9402-8).
- Shahmoradi, S., & Zahrawi, M. (2014). Identification of traits related to drought tolerance in barley genotypes originated from arid climates of Iran. *Journal of Crop Improvement*, 16(1), 23-41. [In Persian]. doi: [10.22059/jci.2014.51940](https://doi.org/10.22059/jci.2014.51940).
- Shamsifar, S., Mirfakhraei, R., & Haghpanah, K. (2021). Study of genetic diversity in some barley (*Hordeum vulgar L.*) cultivars using microsatellite markers and physiological traits of fructan and ion leakage under late spring freeze stress. *Plant Production Technology*, 13(1), 163-177. [In Persian]. doi: [10.22084/PPT.2021.22542.2016](https://doi.org/10.22084/PPT.2021.22542.2016).
- Shapiro, S. S., & Wilk, M. B. (1965). An analysis of variance test for normality (complete samples). *Biometrika*, 52, 591-611.
- Shuorvazdi, A., Mohammadi, S. A., Norozi, M., & Sadeghzadeh, B. (2014). Molecular analysis of genetic diversity and relationships of barley landraces based on microsatellite markers. *Plant Genetic Researches*, 1(1), 51-64. [In Persian]. doi: [10.29252/pgr.1.1.51](https://doi.org/10.29252/pgr.1.1.51).
- Shroyer, J. P., Mikesell, M. E., & Paulsen, G. M. (1995). Spring freeze injury to Kansas wheat. Publication of Kansas State University. pp. 1-12.
- Singh, I. M., Ngangkham, U., Sarika, K., Devi, Y. S., Singh, T. S., Singh, T. B., & Laha, R. (2024a). Genetic diversity and DNA fingerprinting of rice varieties of Manipur using microsatellite markers. *Electronic Journal of Plant Breeding*, 15(2), 504-514. doi: [10.37992/2024.1502.063](https://doi.org/10.37992/2024.1502.063).
- Singh, P., Sharma, A., Tandon, V., Salgotra, R. K., Sharma, M., Gupta, V., & Sharma, D. (2024b). Genetic diversity and population structure of Bael [*Aegle marmelos* (L.) Correa] genotypes using molecular markers in the North-Western plains of India. *Scientific Reports*, 14(1), 18032. doi: [10.1038/s41598-024-69030-1](https://doi.org/10.1038/s41598-024-69030-1).

- Spataro, G., Tiranti, B., Arcaleni, P., Bellucci, E., Attene, G., Papa, R., Spagnoletti, Z. P., & Negri, V. (2011). Genetic diversity and structure of a worldwide collection of *Phaseolus coccineus* L. *Theoretical & Applied Genetics*, 122, 1281-1291. doi: [10.1007/s00122-011-1530-y](https://doi.org/10.1007/s00122-011-1530-y).
- Tahmasbali, M., Darvishzadeh, R., Fayaz Moghaddam, A., & Alipour, H. (2021). Selection of tolerant genotypes to broomrape *Orobanche cernua* stress in oriental tobacco Nicotiana tabacum genotypes using stress tolerance indices. *Journal of Applied Research in Plant Protection*, 9(4), 83-100. [In Persian]. doi: [10.22034/arpp.2021.12247](https://doi.org/10.22034/arpp.2021.12247).
- Tolipov, X. T. (2021). Determination of inulin in plants. *Вестник магистратуры*, 4-1(115), 16-18. <https://cyberleninka.ru/article/n/determination-of-inulin-in-plants>.
- Tricase, C., Amicarelli, V., Lamonaca, E., & Ran, R. L. (2018). Economic analysis of the barley market and related uses. In: Tadele, Z. (Ed.). *Grasses as Food and Feed*. IntechOpen. pp. 25-46. doi: [10.5772/intechopen.78967](https://doi.org/10.5772/intechopen.78967).
- Valluru, R., Lammens, W., Claupein, W., & Van den Ende, W. (2008). Freezing tolerance by vesicle-mediated fructan transport. *Trends in Plant Science*, 13(8), 409-414. doi: [10.1016/j.tplants.2008.05.008](https://doi.org/10.1016/j.tplants.2008.05.008).
- Vus, N. A., Kobyzova, L. N., & Bezuglaya, O. N. (2020). Determination of the breeding value of collection chickpea (*Cicer arietinum* L.) accessions by cluster analysis. *Vavilov Journal of Genetics & Breeding*, 24(3), 244. doi: [10.18699/VJ20.617](https://doi.org/10.18699/VJ20.617).
- Wang, H., Blakeslee, J. J., Jones, M. L., Chapin, L. J., & Dami, I. E. (2020). Exogenous abscisic acid enhances physiological, metabolic, and transcriptional cold acclimation responses in greenhouse-grown grapevines. *Plant Science*, 293, 10437. doi: [10.1016/j.plantsci.2020.110437](https://doi.org/10.1016/j.plantsci.2020.110437).
- Wang, J., Sun, G., Ren, X., Li, C., Liu, L., Wang, Q., Du, B., & Sun, D. (2016). QTL underlying some agronomic traits in barley detected by SNP markers. *BMC Genetics*, 17, 103. doi: [10.1186/s12863-016-0409-y](https://doi.org/10.1186/s12863-016-0409-y).
- Wang, Q., Sun, G., Ren, X., Wang, J., Du, B., Li, C., & Sun, D. (2017). Detection of QTLs for seedling characteristics in barley (*Hordeum vulgare* L.) grown under hydroponic culture condition. *BMC Genetics*, 18, 94. doi: [10.1186/s12863-017-0562-y](https://doi.org/10.1186/s12863-017-0562-y).
- Wu, W., Bang, S., Bleeker, E. R., Castro, M., Denlinger, L., Erzurum, S. C., & Wenzel, S. E. (2019). Multiview cluster analysis identifies variable corticosteroid response phenotypes in severe asthma. *American Journal of Respiratory & Critical Care Medicine*, 199(11), 1358-1367. doi: [10.1164/rccm.201808-1543OC](https://doi.org/10.1164/rccm.201808-1543OC).
- Xu, W., Liu, Q., Xu, W., Zhou, Z., Pham, D. T., Lou, P., & Hu, J. (2017). Energy condition perception and big data analysis for industrial cloud robotics. *Procedia Cirp*, 61, 370-375. doi: [10.1016/j.procir.2016.11.164](https://doi.org/10.1016/j.procir.2016.11.164).
- Yu, J., & Buckler, E. S. (2006). Genetic association mapping and genome organization of maize. *Current Opinion in Biotechnology*, 17(2), 155-160. doi: [10.1016/j.copbio.2006.02.003](https://doi.org/10.1016/j.copbio.2006.02.003).
- Zadoks, J. C., Chang, T. T., & Konzak, C. F. (1974). A decimal code for the growth stages of cereals. *Weed Research*, 14, 415-421. doi: [10.1111/j.1365-3180.1974.tb01084.x](https://doi.org/10.1111/j.1365-3180.1974.tb01084.x).
- Zhu, J. K. (2016). Abiotic stress signaling and responses in plants. *Cell*, 167(2), 313-324. doi: [10.1016/j.cell.2016.08.029](https://doi.org/10.1016/j.cell.2016.08.029).